

HEINRICH-HERTZ-INSTITUT FÜR SCHWINGUNGSFORSCHUNG  
BERLIN-CHARLOTTENBURG

# Technischer Bericht Nr. 115

Analoge und digitale Rechenverfahren zur  
Approximation vorgegebener Übertragungsfunktionen  
mit Transversalfiltern

von

Peter Noll

und  
Rolf Block



Berlin

1 9 7 0

Analoge und digitale Rechenverfahren zur Approximation  
vorgegebener Übertragungsfunktionen mit Transversal-  
filtern.

Zusammenfassung

Transversalfilter sind Laufzeitketten mit äquidistanten Anzapfungen; ist die Größe der an diesen Anzapfungen anstehenden Signalkomponenten einstellbar und werden die somit bewerteten, zeitlich verschobenen Signalanteile aufsummiert, so bildet diese Struktur einen Vierpol mit einstellbaren Übertragungseigenschaften.

In der vorliegenden Arbeit werden Möglichkeiten untersucht, vorgegebene Übertragungsfunktionen mit Transversalfiltern zu erzeugen; dazu werden einige Verfahren zur Bestimmung der Einstellkoeffizienten beschrieben. Vor allem wird ein analoges (Rechen-) Verfahren diskutiert, das von an (Dioden-) Funktionsgebern eingestellten Übertragungsfunktionen ausgeht und nach einem - von Hand oder automatisch vorgenommenen - Abgleich die optimalen Einstellkoeffizienten liefert. Die Brauchbarkeit und die Grenzen dieses Verfahrens werden an einigen Beispielen gezeigt.

Heinrich-Hertz-Institut für Schwingungsforschung  
Berlin-Charlottenburg

Die Bearbeiter:

Rolf Block

(cand. ing. R. Block)

Peter Noll

(Dr.-Ing. P. Noll)

Der Abteilungsleiter:

E. R. Berger

(Prof. Dr.-Ing. E.R. Berger)

Der Institutsdirektor:

P. Matthieu

(Prof. Dr. phil. P. Matthieu)

Berlin-Charlottenburg, den 7. April 1970



## Inhaltsangabe

	Seite
<u>1. Aufgabenstellung, Zusammenfassung</u>	1
<u>2. Prinzip und Realisierungsmöglichkeiten des Transversalfilters</u>	2
2.1 Das Prinzip des Transversalfilters	2
2.2 Das Transversalfilter als nichtkausales System	4
2.3 Das Transversalfilter als kausales System	7
2.4 Realisierungsmöglichkeiten	8
2.4.1 Zeitkontinuierliche Signalverarbeitung	8
2.4.2 Zeitdiskrete Signalverarbeitung	8
2.4.2.1 Abtastfilter	10
2.4.2.2 Digitale Filter	11
<u>3. Die Approximation vorgegebener Übertragungsfunktionen mit Transversalfiltern</u>	11
3.1 Approximation im gesamten Periodizitätsintervall	11
3.2 Approximation in Teilbereichen des Periodizitätsintervalls	13
3.3 Berücksichtigung der Rekonstruktionsfehler	20
<u>4. Apparative Fourier-Transformation mit dem Abtastfilter</u>	21
<u>5. Ein Analogverfahren zur Approximation vorgegebener Übertragungsfunktionen</u>	22
5.1 Das Prinzip des Analogverfahrens	22
5.2 Die Konvergenz des Abgleichverfahrens	24
5.3 Die Nachbildung kausaler und nichtkausaler Übertragungsfunktionen	26





	Seite
5.4 Beschreibung der Schaltung	27
5.4.1 Die Erzeugung des Real- und Imaginär- teils der Übertragungsfunktion des Trans- versalfilters	27
5.4.2 Die Realisierung des Analogverfahrens	29
5.5 Simulation des Transversalfilters auf dem Analogrechner	33
5.6 Digitale Simulation des Abgleichverfahrens	35
<u>6. Meßergebnisse</u>	37
<u>7. Beschreibung des Abtastfilters</u>	44
<u>8. Literaturverzeichnis</u>	47
<u>9. Anhang</u>	49



## 1. Aufgabenstellung, Zusammenfassung

Auf vielen Gebieten der Nachrichtentechnik werden Vierpole benötigt, mit denen Übertragungskanäle verschiedener Art simuliert werden können. So kann die Brauchbarkeit neuer Sprach- oder Datenübertragungssysteme für das Fernsprechnet nur im Zusammenhang mit den Eigenschaften der zur Verfügung stehenden Fernsprechkäle beurteilt werden. Im Fernsprechnet werden bei jedem Verbindungsaufbau neue Teilabschnitte zusammengeschaltet, es entstehen jeweils andere Übertragungseigenschaften. Daher sind zur Simulation solcher Kanäle nur Anordnungen verwendbar, die eine einfache und schnelle Änderung der eingestellten Übertragungseigenschaften zulassen.

Für die Simulation linearer Vierpole mit weitgehend beliebigen Übertragungseigenschaften sind Verzweigungsnetzwerke besonders geeignet /1,2/. Das einfachste dieser Netzwerke ist das Transversalfilter (Echoentzerrer). Es besteht aus einer Laufzeitkette mit im allgemeinen äquidistanten Anzapfungen; ist die Größe der an diesen Anzapfungen anstehenden Signalkomponenten einstellbar und werden die somit bewerteten, zeitlich verschobenen Signalanteile aufsummiert, so bildet diese Struktur einen Vierpol mit einstellbaren Übertragungseigenschaften. Die Übertragungsfunktion wird durch die Bewertungsfaktoren (Einstellkoeffizienten) der einzelnen Anzapfungen bestimmt, da mit den Einstellkoeffizienten die Impulsantwort des Vierpols festgelegt wird /3/.

Neben dem Transversalfilter, das als nichtrekursives Verzweigungsnetzwerk eine Impulsantwort endlicher Länge liefert, können auch rückgekoppelte, rekursive Netzwerke zur Darstellung von Übertragungsfunktionen verwendet werden. Das Transversalfilter ist i. a. aufwendiger als ein rekursives Filter, da mit ihm nur Nullstellen, jedoch keine Pole realisiert werden können; andererseits ist hierdurch ein immer stabiles Verhalten des Transversalfilters gewährleistet. Die Stabilität des Netzwerkes sowie die Eigenschaft, daß die Einstellkoeffizienten des Transversalfilters den Abtastwerten der Impulsantwort entsprechen, ermöglichen ein einfaches Arbeiten - vor allem dann, wenn die Übertragungseigenschaften häufig geändert werden müssen.

In der vorliegenden Arbeit werden Möglichkeiten untersucht, vorgegebene Übertragungsfunktionen mit Transversalfiltern zu erzeugen; dazu werden einige Verfahren zur Bestimmung der Einstellkoeffizienten beschrieben. Vor allem wird ein analoges (Rechen-) Verfahren diskutiert, das von an (Dioden-) Funktionsgebern eingestellten Übertragungsfunktionen ausgeht und nach einem - von Hand oder automatisch vorgenommenen - Abgleich die optimalen Einstellkoeffizienten liefert. Die Brauchbarkeit und die Grenzen dieses Verfahrens werden an einigen Beispielen gezeigt.

## 2. Prinzip und Realisierungsmöglichkeiten des Transversalfilters

### 2.1 Das Prinzip des Transversalfilters /1,3,4/

Transversalfilter bestehen aus  $N$  hintereinandergeschalteten Laufzeitgliedern; jedes Laufzeitglied verzögert ein Eingangssignal um die Zeit  $T$ .

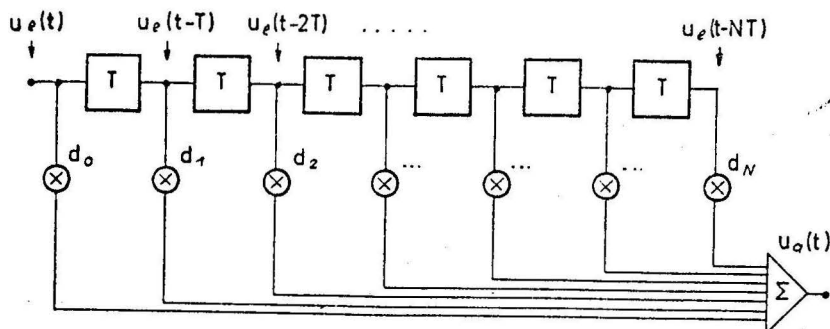


Abb.1 Prinzip des Transversalfilters.

Werden die zu einem beliebigen Zeitpunkt  $t$  an den Ausgängen der einzelnen Laufzeitglieder anstehenden Signalanteile mit Einstellkoeffizienten  $d_k$

$$(2.1) \quad -1 \leq d_k \leq +1 \quad k = 0, 1, 2, \dots, N$$

bewertet und aufsummiert, so gilt für das Ausgangssignal

$$(2.2) \quad u_a(t) = \sum_{k=0}^N d_k \cdot u_e(t - kT)$$

Das Transversalfilter ist ein linearer Vierpol, seine Eigenschaften können durch die Übertragungsfunktion

$$(2.3) \quad H(j\omega) = R(\omega) + jX(\omega)$$

oder durch die Antwort  $u_a(t) = h(t)$  des Netzwerks auf die Distribution  $\delta(t)$  (= Dirac - Impuls) als Eingangssignal beschrieben werden:

$$(2.4) \quad u_a(t) = h(t) \quad \text{für } u_e(t) = \delta(t)$$

$h(t)$  und  $H(j\omega)$  sind durch die Fourier-Transformation miteinander verknüpft:

$$\begin{aligned} h(t) &\longleftrightarrow H(j\omega) \\ h(t) &= \frac{1}{2\pi} \int_{-\infty}^{+\infty} H(j\omega) e^{j\omega t} d\omega \\ H(j\omega) &= \int_{t=-\infty}^{+\infty} h(t) e^{-j\omega t} dt \end{aligned}$$

Aus (2.2) folgt mit (2.4):

$$h(t) = \sum_{k=0}^N d_k \delta(t - kT) \quad k = 0, 1, 2, \dots, N$$

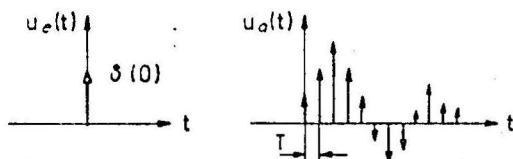


Abb. 2 Die Impulsantwort des idealen, kausalen Transversalfilters.

Die Impulsantwort ist also eine Folge von  $(N + 1)$  mit den jeweiligen Einstellkoeffizienten  $d_k$  bewerteten  $\delta$ -Impulsen  $d_k \delta(t - kT)$ .

Aus der letzten Gleichung ergibt sich mit

$$\delta(t - t_0) \longleftrightarrow e^{-j\omega t_0}$$

die Übertragungsfunktion des Transversalfilters:

$$(2.5) \quad H(j\omega) = \sum_{k=0}^N d_k e^{-jk\omega T}$$

Die Übertragungsfunktion ist also periodisch über der Frequenz mit der Periode  $2\pi/T$ ; sie wird im übernächsten Abschnitt ausführlich diskutiert.



## 2.2 Das Transversalfilter als nichtkausales System

Die Untersuchung der Eigenschaften der Transversalfilter wird übersichtlicher, wenn die Übertragungsfunktion von der Mitte eines Transversalfilters mit  $2M$  Verzögerungsgliedern zum Ausgang hin betrachtet wird. Wir lassen somit die zwischen dem Eingang und der Mitte des Netzwerks auftretende konstante Laufzeit  $MT$  unberücksichtigt und betrachten die Impulsantwort  $h_m(t)$  und die Übertragungsfunktion  $H_m(j\omega)$ .

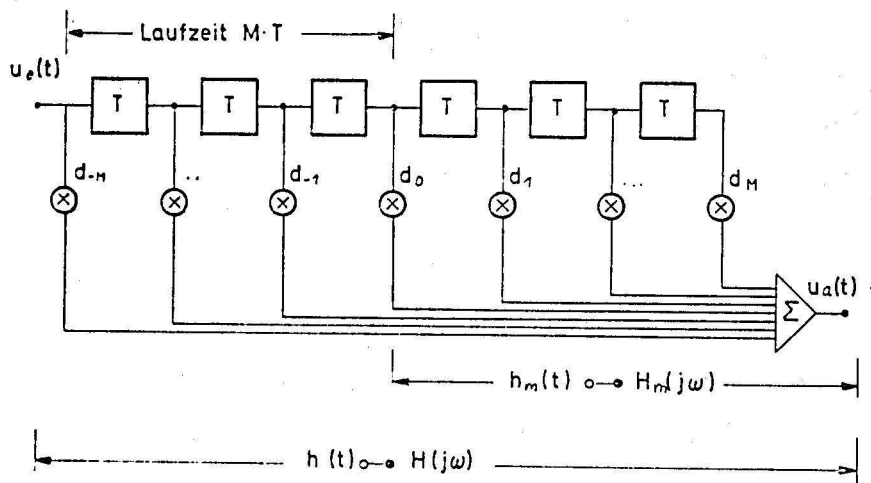


Abb. 3 Definition der Übertragungsfunktion  $H_m(j\omega)$

Es gilt:

$$\begin{aligned}
 h_m(t) &= h(t - MT) \\
 (2.6) \quad &= \sum_{K=-M}^{+M} d_K \cdot \delta(t - kT)
 \end{aligned}$$

$h_m(t)$  ist die Impulsantwort eines nichtkausalen Systems, wenn  $d_{-k} \neq 0$  ist ( $k = 1, 2, \dots, M$ ). Die  $d_{-k}$  - Werte machen eine Vorhersage der Impulsantwort bezüglich der Mitte des Transversalfilters.

Die Übertragungsfunktion ergibt sich als Fourier-Transformierte nach dem Verschiebungstheorem zu

$$(2.7) \quad \begin{aligned} H_m(j\omega) &= H(j\omega)e^{-j\omega MT} \\ &= \sum_{k=-M}^{+M} d_k e^{-jk\omega T} \end{aligned}$$

$H_m(j\omega)$  ist eine periodische komplexe Funktion mit der Periode  $\Omega = 2\pi/T$ . Die  $d_k$  - Werte sind die Fourier-Koeffizienten der trigonometrischen Entwicklung von  $H_m(j\omega)$  (s. Abschnitt 3.1)\*.

Der Zusammenhang zwischen  $h_m(t)$  und  $H_m(j\omega)$  kann mit Hilfe des Prinzips der paarigen Echos anschaulich gemacht werden: wir fassen zwei symmetrisch zum Nullpunkt liegende Glieder (das vor- und nacheilende Echo) zusammen:

$$h_{mk}(t) = d_k \delta(t - kT) + d_{-k} \delta(t + kT)$$

Ein Vierpol mit dieser Impulsantwort hat aber eine cosinusförmig verlaufende Übertragungsfunktion der Frequenz  $k/T$ , wenn  $d_k = d_{-k}$  ist, denn eine  $\cos$  - Zeitfunktion hat ja ein

Linienpektrum mit 2 Linien bei  $-\omega_0$  und  $+\omega_0$ . Damit ergibt sich die Übertragungsfunktion für die obige Impulsantwort aus der Dualitätseigenschaft der Fourier-Transformation:

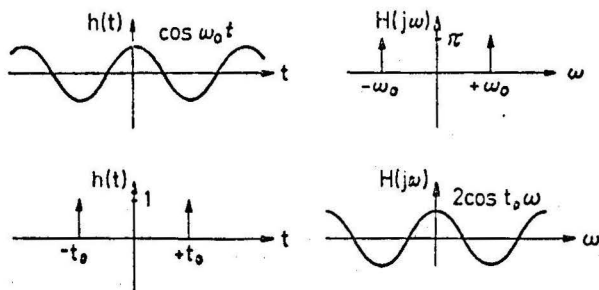


Abb. 4 Beispiel für das Dualitätsprinzip.

$$\begin{aligned} h(t) &\longleftrightarrow H(j\omega) \\ H(\pm j\omega) &\longleftrightarrow 2\pi h(\mp t) \end{aligned}$$

\* Die Koeffizienten der Fourier-Entwicklung einer reellen Funktion müssen paarweise auftreten, sie sind konjugiert komplex zueinander. Die Fourier-Koeffizienten einer komplexen Übertragungsfunktion  $H(j\omega)$  müssen wegen  $H(-j\omega) = H^*(j\omega)$  reell sein.

Für  $d_k = -d_{-k}$  ergibt sich eine sinusförmige Schwankung der Übertragungsfunktion. Jedes Echopaar  $(d_{-k}, d_k)$  im Abstand  $(-kT, +kT)$  von der Mitte des Transversalfilters liefert einen Beitrag zu der Übertragungsfunktion  $H_m(j\omega)$ , die somit durch eine Summe von trigonometrischen Funktionen gebildet wird (Fouriersynthese).

Die Übertragungsfunktion des nichtkausalen Transversalfilters

$$H_m(j\omega) = R(\omega) + jX(\omega)$$

$$= \sum_{k=-M}^{+M} d_k e^{-jk\omega T}$$

kann mit

$$(2.8) \quad \begin{aligned} d_k &= g_k - u_k \\ d_{-k} &= g_k + u_k \end{aligned}$$

in ihren Real- und Imaginärteil aufgespalten werden:

$$(2.9) \quad \begin{aligned} R_m(\omega) &= d_0 + 2 \sum_{k=1}^M g_k \cdot \cos(k\omega T) \\ X_m(\omega) &= 2 \sum_{k=1}^M u_k \cdot \sin(k\omega T) \end{aligned}$$

Aus den Gleichungen (2.9) kann man ablesen, daß mit dem Transversalfilter Übertragungsfunktionen mit linearer Phase realisiert werden können:

$u_k = 0$  für alle  $k$  ergibt

$$H(j\omega) = e^{-j\omega MT} \cdot R_m(\omega).$$

$d_0 = 0$  und  $g_k = 0$  für alle  $k$  ergibt

$$H(j\omega) = j \cdot e^{-j\omega MT} \cdot X_m(\omega).$$

In diesem Fall entsteht also eine zusätzliche  $90^\circ$  - Phasendrehung.



### 2.3 Das Transversalfilter als kausales System

Die mit Gl. (2.7) definierte, auf die Mitte des Transversalfilters bezogene Übertragungsfunktion  $H_m(j\omega)$  ist nichtkausal. Kausalität erfordert  $d_{-k} = 0$  für  $k = 1, 2, \dots, M$ . Dann ergibt sich aus den Gleichungen (2.8) und (2.9)

$$(2.10) \quad d_k = 2 g_k = -2 u_k$$

und

$$(2.11) \quad \begin{aligned} R(\omega) &= \sum_{k=0}^N d_k \cdot \cos k\omega T \\ X(\omega) &= -j \sum_{k=0}^N d_k \cdot \sin k\omega T, \end{aligned}$$

wenn der Einstellkoeffizient  $d_0$  wieder am Eingang des Transversalfilters liegt und  $N$  die Zahl der Laufzeitglieder bezeichnet (s. Abb. 1).

Aus den Gleichungen (2.11) geht hervor, daß mit den Einstellkoeffizienten  $d_k$  sowohl der Real- als auch der Imaginärteil der Übertragungsfunktion festliegt.  $R(\omega)$  und  $X(\omega)$  sind Hilbert-Transformierte zueinander (konjugierte Funktionen), d. h., es gilt:

$$jX(\omega) = \frac{1}{2\pi} \cdot R(\omega) * \frac{2}{j\omega}$$

Wird der vorgegebene periodische Realteil  $R(\omega)$  in eine cos-Reihe entwickelt, so kann der zugehörige Imaginärteil  $X(\omega)$  sofort aus den Fourier-Koeffizienten  $d_k$  bestimmt werden.\*

---

\* Diese Bestimmung des Imaginärteils aus dem Realteil (oder umgekehrt) kann auch für nichtperiodische Übertragungsfunktionen durchgeführt werden, wenn die  $s$ -Ebene in die  $z$ -Ebene abgebildet wird (Wiener-Lee-Transformation).

## 2.4 Realisierungsmöglichkeiten

### 2.4.1 Zeitkontinuierliche Signalverarbeitung

Laufzeitglieder, die - den obigen Ableitungen entsprechend - als Impulsantwort einen um die Zeit  $T$  verzögerten  $\delta$ -Impuls liefern und eine zeitkontinuierliche Signalverarbeitung des Transversalfilters zulassen,

$$u_a(t) = \sum_{k=0}^N d_k \cdot u_e(t - kT) \quad \text{für alle } t,$$

sind nur näherungsweise realisierbar, so z. B. mit angezapften Leitungen oder mit Allpässen. Transversalfilter, die mit solchen Laufzeitgliedern aufgebaut sind, können aus dem Spektrum  $U_e(j\omega)$  des Eingangssignals gewisse, symmetrisch zu  $\omega = k \cdot 2\pi/T$  ( $k = 0, 1, 2, \dots$ ) liegende Bereiche "kammartig" herausfiltern (Kammfilter, z. B. in der Radartechnik). Soll mit dem Transversalfilter eine Übertragungsfunktion gebildet werden, zu der eine zeitkontinuierliche Impulsantwort gehört, so muß mit einem dem Transversalfilter vor- oder nachgeschalteten Tiefpaß eine Bandbegrenzung des Signals vorgenommen werden.

Die Periodizität der Übertragungsfunktion ist durch den Wert  $\Omega = 2\pi/T$  ( $T$ =Laufzeit zwischen benachbarten Anzapfungen) gegeben. Durch Verringerung dieser Laufzeit wird das Periodizitätsintervall vergrößert. Im Grenzfall ergibt sich bei kontinuierlich verteilten Anzapfungen eine nichtperiodische Übertragungsfunktion (CTT-Filter = continuously tapped transversal filters, s. z. B. /5/).

### 2.4.2 Zeitdiskrete Signalverarbeitung

Anwendungsfälle, in denen die Periodizität der Übertragungsfunktion des Transversalfilters ausgenutzt werden kann, sind relativ selten. Im allgemeinen besteht die Aufgabe, das Spektrum eines bandbegrenzten Signals,

$$U_e(j\omega) = 0 \quad |\omega| > \omega_g$$

mittels des Filters zu verändern.

Nach dem Abtasttheorem kann eine bandbegrenzte Zeitfunktion  $u_e(t)$  aus ihren diskreten Werten an den Stellen  $t = n\pi/\omega_g$  dargestellt werden. Wird die Laufzeit zwischen jeweils zwei Anzapfungen des Transversalfilters zu

$$T = \frac{\pi}{\omega_g}$$

gewählt, so entsteht durch die Abtastung der Eingangs-Zeitfunktion  $u_e(t)$  die Distribution

$$(2.12) \quad u_{e*}(t) = \sum_{(n)} u_e(nT) \cdot \delta(t - nT)$$

An den Anzapfungen erscheinen nur zu den Abtastzeitpunkten Signalanteile, die - nach Bewertung mit den Einstellkoeffizienten und anschließender Summation - die Ausgangs-Abtastfolge

$$u_{a*}(t) = \sum_{(n)} u_a(nT) \cdot \delta(t - nT)$$

bilden. Aus dem Spektrum dieser Abtastfolge,

$$(2.13) \quad U_{a*}(j\omega) = \sum_{(n)} u_a(nT) \cdot e^{-j\omega nT}$$

kann der interessierende Grundbereich  $U_a(j\omega)$  mittels eines idealen Tiefpasses wiedergewonnen werden:

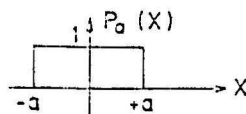


Abb 5 Def. von  $p_a(x)$

$$U_a(j\omega) = T \cdot U_{a*}(j\omega) \cdot p_{\omega g}(\omega)$$

Auf diese Weise wird die Ausgangsfunktion  $u_a(t)$  mit der Kardinalreihe

$$u_a(t) = \sum_{(n)} u_a(nT) \cdot \text{si}[\pi(t/T - n)]$$

aus den Abtastwerten  $u_a(nT)$  rekonstruiert. \*

---

\* Def. von si x:  $\text{si } x = \sin x / x$ .



### 2.4.2.1 Abtastfilter

Wie aus den Gleichungen (2.12) und (2.13) hervorgeht, werden bei zeitdiskreter Signalverarbeitung nur zu den Zeitpunkten  $(nT)$  Abtastwerte miteinander verknüpft. Daher können die Lauf-

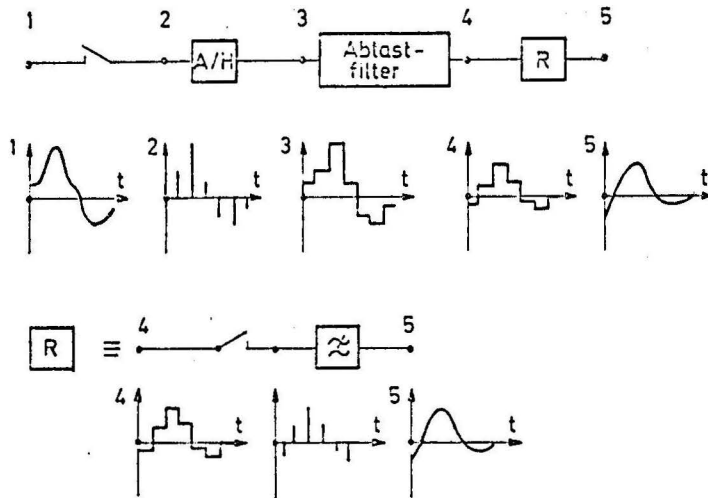


Abb. 5 Signalfilterung mit dem Abtastfilter

Mitteln nichtrekursive und rekursive Verzweigungsnetzwerke (Abtastfilter) aufgebaut werden (/6,7/, s. auch Abschnitt 6 ). Die durch die Haltekreise nullter Ordnung hervorgerufene Verlängerung der Abtastwerte auf  $T$  bedingt einen zusätzlichen Frequenzgang

$$H_H(j\omega) = T \cdot \text{si}(\omega T/2) \cdot e^{-j\omega T/2}$$

Die betragsmäßige Verfälschung kann durch geeignete Abänderung der Einstellkoeffizienten (s. Abschnitt 3.3) oder durch Nachabtastung des Treppensignals

$$u_{Tr}(t) = u(nT) \quad nT \leq t \leq (n+1)T$$

verhindert werden (s. Abb. 6 b).

zeitglieder durch Analog-Speicherzellen ersetzt werden, die die Abtastwerte  $u_e(nT)$  wertekontinuierlich speichern und den jeweils gespeicherten Wert zu den Taktzeiten an die folgende Zelle weitergeben. Mit Abtast-Haltegliedern können daher mit einfachen

## 2.4.2.2 Digitale Filter

Digitale Filter führen eine zeit- und wertediskrete Signalverarbeitung durch. Dazu wird die Eingangs-Abtastfolge  $u_e^*(t)$

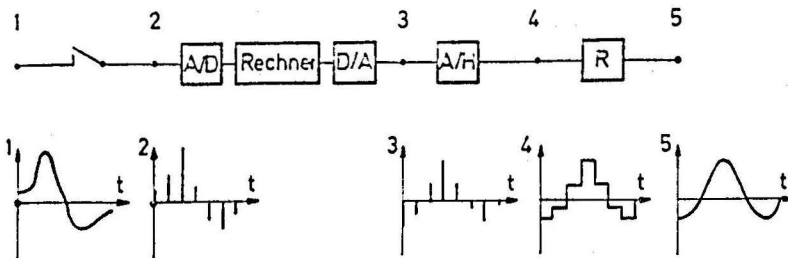


Abb.7 Signalfilterung mit dem Digital-Filter

durch Quanti-  
sierung und Co-  
dierung in eine  
Zahlenfolge umge-  
wandelt, die dann  
im Rechner gemäß  
einem durch ein  
Programm festge-  
legten Algorith-  
mus in eine ande-

re Wertefolge übergeführt wird (z. B. /8/). Entspricht der Algorithmus einer Transversalfilter-Struktur, so wird aus jeweils  $(N + 1)$  gespeicherten Zahlen durch  $(N + 1)$  Multiplikationen mit den Faktoren  $d_k$  ( $k = 0, 1, 2, \dots, N$ ) und anschließender Summation ein neuer Zahlenwert der Ausgangs-Zahlenfolge ermittelt.

Neben dieser rein digitalen Realisierung gibt es auch Anordnungen, in denen das quantisierte und codierte Signal in digitalen Schieberegistern verzögert wird, während die Bewertung über Widerstände vorgenommen wird, die dann gleichzeitig einen Teil der D/A - Umwandlung übernehmen /9/.

## 3. Die Approximation vorgegebener Übertragungsfunktionen mit Transversalfiltern

### 3.1 Approximation im gesamten Periodizitätsintervall

Die Übertragungsfunktion des Transversalfilters,

$$(3.1) \quad H_m(jx) = \sum_{k=-M}^{+M} d_k \cdot e^{-jkx}$$

mit  $x = \omega \cdot T,$

ist eine periodische Funktion.

$H_m(jx)$  soll eine vorgegebene Übertragungsfunktion  $H_v(jx)$  so approximieren, daß der Approximationsfehler  $|H_m(jx) - H_v(jx)|$  möglichst klein wird.

Ist die vorgegebene Übertragungsfunktion bandbegrenzt,

$$H_v(jx) = 0 \quad |x| > x_g,$$

so kann  $H_v(jx)$  periodisch fortgesetzt werden und ist damit durch eine Fourierreihe darstellbar:

$$(3.2) \quad H_{vp}(jx) = \sum_{k=-\infty}^{+\infty} C_k \cdot e^{-jkx}$$

Die  $C_k$  - Werte sind die reellwertigen Fourierkoeffizienten der periodischen Funktion  $H_{vp}(jx)$ ; vgl. Fußnote auf S. 5:

$$(3.3) \quad C_k = \frac{1}{2\pi} \int_{-\pi}^{+\pi} H_{vp}(jx) \cdot e^{+jkx} dx$$

Wird  $H_{vp}(jx)$  durch die Übertragungsfunktion  $H_m(jx)$  des Transversalfilters approximiert, so entsteht der Fehler

$$\begin{aligned} H_{\Delta}(jx) &= H_{vp}(jx) - H_m(jx) \\ &= \sum_{k=-\infty}^{+\infty} A_k \cdot e^{-jkx} \end{aligned}$$

mit

$$\begin{aligned} A_k &= C_k - d_k & |k| \leq M \\ A_k &= C_k & |k| > M \end{aligned}$$

Aus dem mittleren quadratischen Fehler der periodischen Funktion  $H_{\Delta}(jx)$ ,

$$\begin{aligned} E &= \overline{H_{\Delta}(jx) \cdot H_{\Delta}^*(jx)} \\ (3.4) \quad &= \frac{1}{2\pi} \int_{-\pi}^{+\pi} H_{\Delta}(jx) \cdot H_{\Delta}^*(jx) dx \end{aligned}$$

folgt mit dem Parseval-Theorem\* für komplexe periodische Funktionen sofort

$$\begin{aligned} E &= \sum_{k=-\infty}^{+\infty} A_k^2 \\ (3.5) \quad &= \sum_{k=-M}^{+M} (C_k - d_k)^2 + \sum_{|k| > M} C_k^2 \end{aligned}$$

---

\*  $E = \overline{f(t) \cdot f^*(t)} = \sum_{(k)} F_k \cdot F_k^*$  ;  $F_k = k.$ te Harmonische



Der minimale Fehler ergibt sich für

$$(3.6) \quad d_k = c_k \quad |k| \leq M,$$

also dann, wenn die Einstellkoeffizienten den Fourier-Koeffizienten der Entwicklung von  $H_{vp}(jx)$  gleichgesetzt werden /3, 4, 9/.

Die Begrenzung auf  $\pm M$  Koeffizienten bewirkt einen Fehler

$$E_{\min} = \sum_{|k| > M} c_k^2 \quad \text{für } d_k = c_k \quad (|k| \leq M)$$

Die trigonometrische Interpolation gemäß Gl. (3.6) zeigt bekanntlich eine sehr schlechte Konvergenz, wenn die Übertragungsfunktion Unstetigkeitsstellen besitzt. Ist die  $k$ .te Ableitung der Übertragungsfunktion impulsförmig, so nehmen die Amplituden der Impulsantwort bei großen  $t$  - Werten proportional zu  $|t|^{-k}$  ab. Die durch die endliche Zahl von Einstellkoeffizienten bedingte Zeitbegrenzung der Impulsantwort führt zu einer Faltung von  $H_v(jx)$  mit einer si-Funktion (Gibbsches Phänomen):

$$h(t) \cdot p_{MT}(t) \longrightarrow H_v(jx) * \frac{MT}{\pi} \cdot \text{si}(xM)$$

(Definition von  $p_a(t)$ , s. Abb. 5).

Bessere Lösungen ergeben sich, wenn  $p_{MT}(t)$  durch andere "Fenster"-Funktionen ersetzt wird (s. z. B. /8/), oder wenn eine geeignete Bewertung des mittleren quadratischen Fehlers im Definitionsbereich der Übertragungsfunktion  $H_v(jx)$  vorgenommen wird (s. nächsten Abschnitt).

### 3.2 Approximation in Teilbereichen des Periodizitätsintervalls

Die trigonometrische Approximation liefert Koeffizienten derart, daß der mittlere quadratische Fehler im gesamten Periodizitätsintervall ein Minimum wird; die Einstellkoeffizienten sind dann mit den Fourierkoeffizienten der periodisch fortgesetzten vorgegebenen Übertragungsfunktion identisch.

Oft ist jedoch nur eine gute Approximation in Teilbereichen des Periodizitätsintervalls gewünscht, während der Fehler in den übrigen Gebieten durchaus größer oder aber auch beliebig sein kann. Solche Bereiche entstehen z. B., wenn bei Filtern mit zeitdiskreter Signalverarbeitung die halbe Abtastfrequenz größer ist als die höchste Signalfrequenz.

Wird der mittlere quadratische Fehler als Kriterium für die Güte der Approximation beibehalten, so gilt:

$$(3.7) \quad E = \frac{1}{2\pi} \cdot \int_{-\pi}^{+\pi} B(jx) \cdot H_{\Delta}(jx) \cdot H_{\Delta}^*(jx) dx$$

!

= Min.

Die Bewertungsfunktion  $B(jx)$  ist 1 im interessierenden Bereich (Approximationsintervall). Weiter gilt:

$$B(-jx) = B(jx) = B(x),$$

d. h., die Bewertungsfunktion ist eine reelle Funktion.

An dieser Stelle sei noch vermerkt, daß auch ein anderes Kriterium für die Güte der Approximation eingeführt werden könnte, z. B. die Tschebyscheff-Approximation; sie ist dadurch gekennzeichnet, daß die Extrema der Fehlerfunktion  $E(x)$  im Approximationsintervall dem Betrage nach gleich werden, und daß die Vorzeichen dieser Extremwerte an aufeinanderfolgenden Abzissen alternieren. Das Tschebyscheff-Kriterium führt i. a. auf ein nichtlineares Gleichungssystem, das mit einem Iterationsverfahren gelöst werden muß. Die Approximation im Tschebyscheffschen Sinne hat den Vorzug, daß die Größe des maximalen Fehlers genau bekannt ist; ansonsten sind die Unterschiede zur Approximation im Sinne des kleinsten mittleren Fehlerquadrates nicht sehr groß /10/. Hier wird auf eine Diskussion der Tschebyscheff-Approximation verzichtet, da ihr Fehler-Kriterium beim Analogverfahren nur bei großem Aufwand verwendet werden kann.

Das Minimierungsproblem kann auf die Lösung eines linearen Gleichungssystems der Ordnung  $(2M + 1)$  zur Bestimmung der gesuchten  $(2M + 1)$  Einstellkoeffizienten zurückgeführt werden.

Die Aufstellung dieses Gleichungssystems wurde bereits von Fleischer durchgeführt /11/. Da dem im Abschnitt 5 beschriebenen Analogverfahren zur Bestimmung der Einstellkoeffizienten die hier diskutierte Approximationsmethode zugrunde liegt, wird hier die Aufstellung des Gleichungssystems nochmals - in etwas anderer Form - vorgenommen; dabei werden auch nichtkausale Impulsantworten zugelassen; diese Schreibweise läßt dann eine Aufteilung in zwei Gleichungssysteme der Ordnung  $(M + 1)$  bzw.  $(M)$  zu, wenn Koeffizienten von  $-M$  bis  $+M$  bestimmt werden sollen.

Der mittlere quadratische Fehler der Approximation hat den Wert

$$\begin{aligned}
 E &= E(d_{-M}, d_{-M+1}, \dots, d_{-1}, d_0, d_1, \dots, d_M) \\
 (3.8) \quad &= \frac{1}{2\pi} \int_{-\pi}^{+\pi} B \cdot \left| H_{vp} - \sum_{k=-M}^{+M} d_k \cdot e^{-jkx} \right|^2 dx
 \end{aligned}$$

Nach kurzer Zwischenrechnung ergibt sich mit

$$\begin{aligned}
 H_{vp}(jx) &= H_v(jx) \\
 &= R_v(x) + jX_v(x) \quad |x| \leq \pi
 \end{aligned}$$

die Gleichung

$$(3.9) \quad E = I_E - 2 \sum_{(k)} d_k \cdot I_F(k) + \sum_{(k)} \sum_{(l)} d_k \cdot d_l \cdot I_B(k-l)$$

mit der Energie

$$I_E = \frac{1}{2\pi} \int_{-\pi}^{+\pi} B \cdot (R_v^2 + X_v^2) dx,$$

den verallgemeinerten Fourierkoeffizienten

$$(3.10) \quad I_F(k) = \frac{1}{2\pi} \int_{-\pi}^{+\pi} B \cdot (R_v \cdot \cos kx - X_v \cdot \sin kx) dx$$

und dem Bewertungs-Term

$$(3.11) \quad I_B(k-l) = \frac{1}{2\pi} \int_{-\pi}^{+\pi} B \cdot \cos(k-l)x dx$$

Die Parameter  $d_i$  müssen so bestimmt werden, daß die Fehlerfunktion nach Gl. (3.9) zu einem Minimum wird. Die notwendige Bedingung

$$\frac{\partial E}{\partial d_i} = 0 \quad i = -M, -M+1, \dots, M-1, M$$

führt auf das lineare Gleichungssystem

$$(3.12) \quad \sum_{k=-M}^{+M} d_k \cdot I_B(i-k) = I_F(i) \quad i = -M, -M+1, \dots, M-1, M$$

Dieses Gleichungssystem läßt sich in Matrizenform schreiben:

$$\begin{pmatrix} I_B(0) & I_B(1) & I_B(2) & \dots & I_B(2M) \\ I_B(1) & I_B(0) & I_B(1) & \dots & I_B(2M-1) \\ \cdot & \cdot & \cdot & & \cdot \\ \cdot & \cdot & \cdot & & \cdot \\ I_B(2M) & I_B(2M-1) & I_B(2M-2) & \dots & I_B(0) \end{pmatrix} \cdot \begin{pmatrix} d_{-M} \\ d_{-M+1} \\ \cdot \\ \cdot \\ d_M \end{pmatrix} = \begin{pmatrix} I_F(-M) \\ I_F(-M+1) \\ \cdot \\ \cdot \\ I_F(+M) \end{pmatrix}$$

bzw.

$$\mathcal{B} \cdot \mathcal{D} = \mathcal{F}$$

Die Koeffizienten der Hauptdiagonalen der symmetrischen Matrix  $\mathcal{B}$  stimmen mit dem Mittelwert der Bewertungsfunktion überein. Da alle Elemente der Matrix  $\mathcal{B}$  von der zu approximierenden Übertragungsfunktion  $H_v(jx)$  unabhängig sind, kann der Lösungsvektor

$$(3.13) \quad \mathcal{D} = \mathcal{B}^{-1} \cdot \mathcal{F}$$

bei mehrmaliger Durchrechnung mit verschiedenen Übertragungsfunktionen, aber gleichbleibender Bewertungsfunktion sehr schnell bestimmt werden, ohne daß jeweils die Inverse  $\mathcal{B}^{-1}$  neu berechnet werden muß. Im Anhang werden die Elemente verschieden großer Kehrmatrizen für die Approximation von Fernspreckkanälen angegeben.

Es fehlt noch der Nachweis, daß das Gleichungssystem (3.12) eine eindeutige Lösung hat. Dazu muß die quadratische Form  $\sum \sum d_k \cdot d_l \cdot I_B(k-l)$  positiv definit sein, d. h. positiv ( $>0$ ) für beliebige reelle Werte der Variablen  $d_l$ , solange nicht alle Variablen gleichzeitig verschwinden. Da nun die Bewertungsfunktion eine gerade Funktion ist, läßt sich aus der Gl. (3.11) erkennen, daß alle Hauptabschnittsdeterminanten der symmetrischen Koeffizientenmatrix  $B$  positiv sind; damit ist die quadratische Form positiv definit, das Gleichungssystem hat eine eindeutige Lösung, und der Lösungsvektor  $D$  nach Gl. (3.13) liefert ein Minimum der Fehlerfunktion. Der minimale quadratische Fehler der Approximation ergibt sich nach kurzer Rechnung\* zu

$$E_{\min} = I_E - \sum_{(k)} \sum_{(l)} d_k \cdot d_l \cdot I_B(k-l)$$

Im Sonderfall

$$B(x) = 1 \quad \text{für alle } x$$

entsteht ein orthogonales System :

$$I_B(k-l) = \delta_{k, l}$$

$$\delta_{k, l} = \begin{cases} = 1 & k = l \\ = 0 & k \neq l \end{cases}$$

Die Matrix  $B$  wird zur Einheitsmatrix

$$I \cdot D = F$$

und die Einstellkoeffizienten  $d_k$  können unabhängig voneinander aus dem  $k$ .ten Element des Spaltenvektors  $F$  bestimmt werden (Fourierlösung).

---

\* Aus Gl. (3.9),  $E = I_E - 2D^T \cdot F + D^T \cdot B \cdot D$ , ergibt sich mit  $B \cdot D = F$  sofort  $E_{\min} = I_E - D^T \cdot B \cdot D$ .

### Aufspaltung in 2 Gleichungssysteme

Das Gleichungssystem (3.12) kann durch Einführung von

$$d_k = g_k - u_k$$

$$d_{-k} = g_k + u_k$$

$$d_0 = 2 g_0$$

in zwei Gleichungssysteme der Ordnung (M+1) und (M) aufgespalten werden; aus Gl. (3.8) folgt:

$$\begin{aligned} (3.14) \quad E &= \frac{1}{2\pi} \int_{-\pi}^{+\pi} B \cdot R_{\Delta}^2 dx + \frac{1}{2\pi} \int_{-\pi}^{+\pi} B \cdot X_{\Delta}^2 dx \\ &= E_1(g_0, g_1, g_2, \dots, g_M) + E_2(u_1, u_2, \dots, u_M) \end{aligned}$$

mit

$$R_{\Delta} = R_{vp} - 2 \sum_{k=0}^M g_k \cdot \cos kx$$

$$X_{\Delta} = X_{vp} - 2 \sum_{k=1}^M u_k \cdot \sin kx$$

Die notwendigen Bedingungen für einen minimalen Fehler  $E_{\min}$ ,

$$\frac{\partial E}{\partial g_i} = \frac{\partial E_1}{\partial g_i} = 0 \quad i = 0, 1, 2, \dots, M$$

$$\frac{\partial E}{\partial u_i} = \frac{\partial E_2}{\partial u_i} = 0 \quad i = 1, 2, \dots, M$$

führen auf

$$(3.15) \quad I_{Fg}(i) = \sum_{k=0}^M g_k \cdot I_{Bg}(i, k)$$

und auf

$$(3.16) \quad I_{Fu}(i) = \sum_{k=1}^M u_k \cdot I_{Bu}(i, k)$$



Es wurden folgende Abkürzungen benutzt:

$$I_{Fg}(i) = \frac{1}{2\pi} \cdot \int_{-\pi}^{+\pi} B \cdot R_v \cdot \cos ix \, dx$$

$$I_{Fu}(i) = \frac{1}{2\pi} \cdot \int_{-\pi}^{+\pi} B \cdot X_v \cdot \sin ix \, dx$$

$$I_{Bg}(i, k) = \frac{1}{\pi} \cdot \int_{-\pi}^{+\pi} B \cdot \cos ix \cdot \cos kx \, dx$$

$$I_{Bu}(i, k) = \frac{1}{\pi} \cdot \int_{-\pi}^{+\pi} B \cdot \sin ix \cdot \sin kx \, dx$$

Aus Gl. (3.15) bzw. aus Gl. (3.16) folgt mit

$$I_{Bg}(i, k) = I_{Bg}(k, i)$$

$$I_{Bu}(i, k) = I_{Bu}(k, i)$$

$$\begin{pmatrix} I_{Bg}(0,0) & I_{Bg}(0,1) & I_{Bg}(0,2) & \dots & I_{Bg}(0,M) \\ I_{Bg}(0,1) & I_{Bg}(1,1) & I_{Bg}(1,2) & \dots & I_{Bg}(1,M) \\ \cdot & \cdot & \cdot & & \cdot \\ I_{Bg}(0,M) & I_{Bg}(1,M) & I_{Bg}(2,M) & \dots & I_{Bg}(M,M) \end{pmatrix} \cdot \begin{pmatrix} g_0 \\ g_1 \\ \cdot \\ g_M \end{pmatrix} = \begin{pmatrix} I_{Fg}(0) \\ I_{Fg}(1) \\ \cdot \\ I_{Fg}(M) \end{pmatrix}$$

$$\begin{pmatrix} I_{Bu}(1,1) & I_{Bu}(1,2) & \dots & I_{Bu}(1,M) \\ I_{Bu}(1,2) & I_{Bu}(2,2) & \dots & I_{Bu}(2,M) \\ \cdot & \cdot & & \cdot \\ I_{Bu}(1,M) & I_{Bu}(2,M) & \dots & I_{Bu}(M,M) \end{pmatrix} \cdot \begin{pmatrix} u_1 \\ u_2 \\ \cdot \\ u_M \end{pmatrix} = \begin{pmatrix} I_{Fu}(1) \\ I_{Fu}(2) \\ \cdot \\ I_{Fu}(M) \end{pmatrix}$$

Die Koeffizientenmatrizen sind wiederum unabhängig von den zu approximierenden Übertragungsfunktionen  $H_v(jx)$ ; die Existenz und die Eindeutigkeit der Lösungsvektoren der beiden Gleichungssysteme kann - analog zu der Diskussion der Gl. (3.12) - leicht gezeigt werden.

Bei den bisherigen Betrachtungen wurde eine Bestimmung der Einstellkoeffizienten  $d_k$  im Bereich  $-M \leq k \leq +M$  vorausgesetzt. Mit dem Gleichungssystem (3.12) können aber auch  $d_k$  - Werte in zum Koeffizienten  $d_0$  unsymmetrischen Bereichen  $-M \leq d_k \leq +N$  bestimmt werden; die Koeffizienten  $d_k$  ( $N \leq k \leq M$ ) werden dazu einfach zu Null gesetzt.

### 3.3 Berücksichtigung der Rekonstruktionsfehler

Wird ein Transversalfilter mit zeitdiskreter Signalverarbeitung zur Filterung zeitkontinuierlicher Signale eingesetzt, so entstehen bei der Rekonstruktion des Ausgangssignals aus der Ausgangs-Abtastfolge Fehler. Diese Fehler entstehen z. B. bei der Rekonstruktion mit Nachabtastung (s. Abb. 6) durch die endliche Länge der Ausblendimpulse und durch den Tiefpaß, dessen Verhalten nicht ideal sein kann. Durch Abänderung der Werte der Einstellkoeffizienten lassen sich diese Rekonstruktionsfehler eliminieren.

In Reihe zu dem Transversalfilter mit der Übertragungsfunktion  $H_m(j\omega)$  liegt also jetzt ein Vierpol, der das Verhalten der Rekonstruktion beschreibt; seine Übertragungsfunktion sei  $K(j\omega) = R_K(\omega) + jX_K(\omega)$ . Die Einstellkoeffizienten müssen jetzt so bestimmt werden, daß

$$E = \frac{1}{2\pi} \cdot \int_{-\pi}^{+\pi} B \cdot \left| H_V - K \cdot \sum_{k=-M}^{+M} d_k \cdot e^{-jkx} \right|^2 dx$$

zum Minimum wird (s. auch /11/). Nach Rechnung ergibt sich wieder das Gleichungssystem (3.12), wenn die Gleichungen (3.10) und (3.11) durch

$$I_F(k) = \frac{1}{2\pi} \cdot \int_{-\pi}^{+\pi} B \cdot \left[ (R_V \cdot R_K + X_V \cdot X_K) \cdot \cos kx - (X_V R_K - R_V X_K) \cdot \sin kx \right] dx$$

$$I_B(k-1) = \frac{1}{2\pi} \cdot \int_{-\pi}^{+\pi} B \cdot (R_K^2 + X_K^2) \cdot \cos (k-1)x dx$$

ersetzt werden.

#### 4. Apparative Fouriertransformation mit dem Abtastfilter

Die mit einer bandbegrenzten Übertragungsfunktion verknüpfte Impulsantwort kann aus den Abtastwerten rekonstruiert werden:

$$(4.1) \quad h(t) = \sum_{(n)} h(nT) \cdot \text{si} [\pi(t/T - n)]$$

Wird die Impulsantwort des Transversalfilters,

$$h_{TF}(t) = \sum_{(n)} d_n \cdot \delta(t - nT),$$

einem idealen Tiefpaß mit der Impulsantwort

$$h_{TP}(t) = \frac{1}{T} \cdot \text{si}(\pi t/T)$$

zugeführt, so ergibt sich durch Faltung

$$(4.2) \quad \begin{aligned} h(t) &= h_{TF}(t) * h_{TP}(t) \\ &= \frac{1}{T} \sum_{(n)} d_n \cdot \text{si}[\pi(t/T - n)] \end{aligned}$$

Die Einstellkoeffizienten können also aus den Abtastwerten der Impulsantwort bestimmt werden (Vergleich von Gl. 4.1 mit 4.2):

$$(4.3) \quad d_n = T \cdot h(nT)$$

Aus den Symmetrie-Eigenschaften der Fourier-Transformierten,

$$h(t) \longleftrightarrow H(j\omega)$$

$$H(t) \longleftrightarrow 2\pi h(-j\omega),$$

folgt nun eine Möglichkeit, die zu einer vorgegebenen Übertragungsfunktion gehörenden Einstellkoeffizienten zu gewinnen: die Einstellkoeffizienten werden zuerst so eingestellt, daß sie Abtastwerten der Übertragungsfunktion entsprechen; das Transversalfilter hat dann die Impulsantwort  $H(t)$ . Es kann entweder der Real- oder der Imaginärteil eingestellt werden ( $X=0$  oder  $R=0$ ).

Über der Frequenz entsteht der Verlauf der Impulsantwort  $h$ , aus der (in äquidistanten Frequenzabständen) die Abtastwerte und damit (nach Gl. 4.3) die gesuchten Einstellkoeffizienten abgenommen werden können. Zur Messung der Abtastwerte muß dem Filter eine  $\delta$ -Impulsfolge als Eingangssignal angeboten werden; die Abtastwerte werden dann mit einem selektiven Voltmeter gemessen. Eine elegantere Methode ergibt sich, wenn die Abtastfrequenz des Filters umschaltbar ist; durch Erhöhung der Abtastfrequenz können nacheinander die Amplituden der Harmonischen mit einem Bandpaß fester Mittenfrequenz herausgesiebt werden /12/.

Bisher wurde vorausgesetzt, daß entweder der Real- oder der Imaginärteil der Übertragungsfunktion Null ist; das Abtastfilter gibt nun die Möglichkeit, diese Beschränkung fallenzulassen. An getrennten Koeffizientensätzen der gleichen Laufzeitkette werden die Koeffizienten entsprechend dem Verlauf des Real- bzw. Imaginärteils eingestellt. Die Amplituden der Harmonischen sind dann den  $g_k$  - bzw.  $u_k$  - Werten proportional (s. Gl. 2.9). Da sie gleichzeitig vorliegen, können die Einstellkoeffizienten  $d_k$  nach Gl. (2.8) am Ausgang eines Summierers abgenommen werden (inverse Fourier-Transformation).

## 5. Ein Analogverfahren zur Approximation vorgegebener Übertragungsfunktionen

### 5.1 Das Prinzip des Analogverfahrens

Zur Dämpfungsentzerrung von Leitungen wurde 1953 von den Bell-Laboratorien ein Meßverfahren angegeben, mit dem der dort verwendete Echoentzerrer in kurzer Zeit eingestellt werden konnte /13/. Dem Prinzip nach entspricht das Verfahren einem Abgleich der Dämpfungsentzerrungen auf kleinstes Fehlerquadrat.

Die Einstellung eines Transversalfilters, das eine komplexe Übertragungsfunktion  $H_V(j\omega) = R_V(\omega) + jX_V(\omega)$  nachbilden soll, kann nach dem gleichen Prinzip erfolgen, wenn Real- und Imaginärteil von  $H_V(j\omega)$  in Funktionsgebern vorliegen.\*

Die gewünschte Übertragungsfunktion  $H_V(j\omega)$  wird über einer zeitlinearen Spannung  $U_1$  als Real- und Imaginärteil in Diodenfunktionsgebern eingestellt. Am Transversalfilter liegt eine Wechselspannung an, deren Frequenz der Steuerspannung  $U_1$  proportional ist. Die durch die Einstellung der Koeffizienten  $d_k$  festliegende Übertragungsfunktion  $H_T(j\omega)$  des Transversalfilters wird in Real- und Imaginärteil aufgeteilt und mit den entsprechenden Werten von  $H_V(j\omega)$  verglichen.

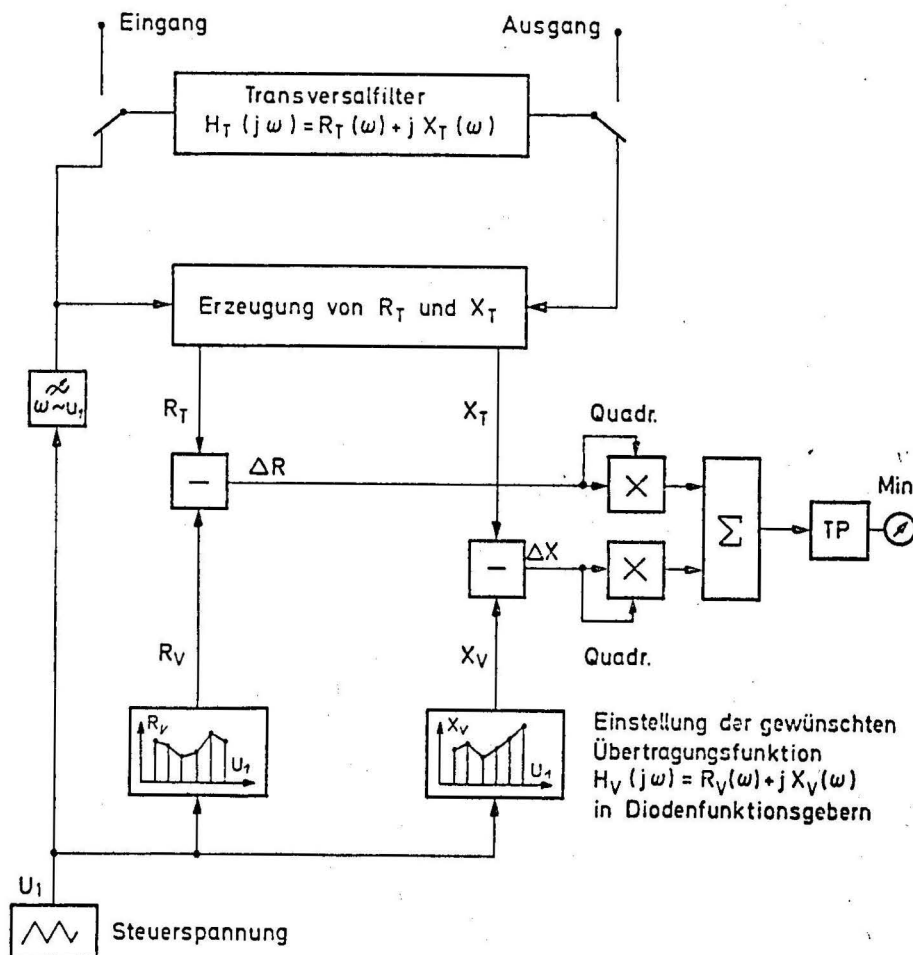


Abb. 8 Analogverfahren zur Einstellung eines Transversalfilters.

\* nach einem Vorschlag von Dr. B. Wendland (früher Heinr.-Hertz-Inst., jetzt AEG-Telefunken Ulm).

Bei hinreichend großer Wobelfrequenz kann der Mittelwert der Fehlerfunktion (s. Gl. 3.4) von einem Drehspulinstrument gebildet und angezeigt werden. Mit

$$\begin{aligned} H_{\Delta}(jx) &= H_V(jx) - H_T(jx) \\ \Delta R(x) &= R_V(x) - R_T(x) \\ \Delta X(x) &= X_V(x) - X_T(x) \end{aligned}$$

gilt:

$$\begin{aligned} E &= \frac{1}{2\pi} \int_{-\pi}^{+\pi} H_{\Delta}(jx) \cdot H_{\Delta}^*(jx) dx \\ (5.1) \quad &= \frac{1}{\pi} \cdot \int_0^{\pi} [\Delta R^2(x) + \Delta X^2(x)] dx \end{aligned}$$

Die Einstellkoeffizienten können von Hand oder automatisch so eingestellt werden, daß die Fehlerfunktion zum Minimum wird.

## 5.2 Die Konvergenz des Abgleichverfahrens

$H_{\Delta}(jx)$  ist eine periodische komplexe Funktion. Mit dem Parseval-Theorem für komplexe periodische Funktionen folgt aus Gl. (5.1)

$$(5.2) \quad E = \sum_{k=-\infty}^{+\infty} (C_k - d_k)^2$$

Die  $C_k$  - Werte sind die Fourier-Koeffizienten der vorgegebenen Funktion. Die Einstellkoeffizienten nähern sich also beim Abgleichverfahren monoton den Fourier-Koeffizienten (vgl. Abschnitt 3.1).

Die Gleichung (5.1) gibt den mittleren quadratischen Fehler im gesamten Periodizitätsintervall ( $|x| \leq \pi$ ) an, d. h., beim Abgleich mit dem Analogverfahren müßte der Frequenzbereich von 0 Hz bis zur halben Abtastfrequenz ( $= 1/2T$ ) durchgewobbelt werden. Im Abschnitt 5.4.2 wird gezeigt, daß der mittlere quadratische Fehler praktisch nur in einem eingeschränkten Intervall des Übertragungsbereichs des Transversalfilters ( $f_u > 0$ ;  $f_0 < 1/2T$ ) bestimmt werden kann.



Es wird also eine Bewertung derart vorgenommen, daß der Fehler für Frequenzen

$f < f_u$  (bzw.  $x < x_u$ ) und  $f > f_o$  (bzw.  $x > x_o$ ) beliebige

Werte annehmen kann:

$$(5.3) \quad E = \frac{1}{2\pi} \int_{-\pi}^{+\pi} B(x) \cdot H_{\Delta}(jx) \cdot H_{\Delta}^*(jx) dx$$

$$B(x) = 1 \quad x_u \leq x \leq x_o$$

$$B(x) = 0 \quad \text{sonst}$$

Im Abschnitt 3.2 wurde gezeigt, daß die Bestimmung der Einstellkoeffizienten, die die obige Fehlerfunktion zum Minimum machen, die Auflösung eines linearen Gleichungssystems erfordert; damit sind die Einstellkoeffizienten voneinander abhängig.

Aus der Gl. (5.3) kann die Gl. (3.9) abgeleitet werden; sie läßt eine geometrische Deutung des Iterationsverfahrens zu. Die Funktionen  $E = \text{const.}$  bilden eine Ellipsoidenschar im  $(2M+1)$ -dimensionalen Raum, wenn Koeffizienten von  $-M$  bis  $+M$  abzugleichen sind. Die Drehung der Hauptachsen der Ellipsoide wird alleine durch den Verlauf der Bewertungsfunktion  $B(x)$  festgelegt. Ist  $B(x) = 1$  im gesamten Bereich  $(0 \leq |x| \leq \pi)$ , so liegen die Hauptachsen parallel verschoben zu den Koordinatenachsen. Der Mittelpunkt und die Größe der Hauptachsen werden sowohl durch die zu approximierende Übertragungsfunktion als auch durch  $B(x)$  festgelegt. Wird  $E$  kleiner, so ziehen sich die Ellipsoide auf den gemeinsamen Mittelpunkt zusammen, der der Lösungsvektor ist. Die Darstellung der Funktionen über  $E$  ergibt einen Trichter über einer  $(2M+1)$ -dimensionalen Hyperebene. Das absolute Minimum der Fehlerfunktion  $E$  ist durch die Spitze des Trichters eindeutig bestimmt. Der Abgleich auf kleinstes mittleres Fehlerquadrat bewirkt eine Wanderung entlang der Trichterwand zur Trichterspitze hin.

Eine schnelle Konvergenz des Iterationsverfahrens kann durch eine geeignete Strategie des Einstellverfahrens erzielt werden; bei einem manuellen Abgleich ist praktisch jedoch nur eine einfache Abgleichmethode möglich:

es wird das partielle Minimum längs einer Variablen ( $d_k$ ) gesucht, dann wird das Minimum längs der Variablen  $d_{k+1}$  gesucht, etc. Da die Einstellkoeffizienten voneinander abhängig sind, sind mehrere Umläufe über alle Variablen nötig. Es zeigt sich, daß das Verfahren mit dieser Strategie oft sehr schlecht konvergiert. Günstig ist es, mit dem Abgleich desjenigen Einstellkoeffizienten zu beginnen, der zu Beginn die größte Änderung des mittleren quadratischen Fehlers hervorruft.

### 5.3 Die Nachbildung kausaler und nichtkausaler Übertragungsfunktionen

Mit dem Transversalfilter können nichtkausale Übertragungsfunktionen dargestellt werden, wenn man eine zusätzliche Laufzeit zuläßt. Die vorgegebenen Übertragungsfunktionen sind meist kausal, die periodische Erweiterung erfordert jedoch, daß die Funktionen für  $|x| > \pi$  zu Null gesetzt werden müssen. Nach dem Wiener-Paley-Kriterium sind die entstehenden Übertragungsfunktionen nichtkausal. Sie können - mit zusätzlicher Laufzeit - durch ein Transversalfilter mit Einstellkoeffizienten von  $d_{-M}$  bis  $d_{+N}$  nachgebildet werden; die Übertragungsfunktion des Systems sei dann definiert als Quotient der Ausgangsspannung und der um  $MT$  verschobenen Eingangsspannung, also der Spannung am Koeffizienten  $d_0$ . Beim Abgleichverfahren muß die Frequenz dieser Spannung der Steuerspannung  $U_1$  der Diodenfunktionsgeber proportional sein.

## 5.4 Beschreibung der Schaltung

### 5.4.1 Die Erzeugung des Real- und Imaginärteils der Übertragungsfunktion des Transversalfilters

Die Spannung am 0.ten Koeffizienten ist die Bezugs-Eingangsspannung des Transversalfilters als nichtkausales System:

$$u_e = \sin \omega t$$

Dann ist die Ausgangsspannung

$$u_a = |H_T| \sin (\omega t + \varphi)$$

Durch Multiplikation des Eingangs- und Ausgangssignals erhält man:

$$\begin{aligned} u_R &= u_e \cdot u_a \\ &= \frac{1}{2} \cdot |H_T| \cos \varphi - \frac{1}{2} |H_T| \cdot [\cos 2\omega t \cdot \cos \varphi + \sin 2\omega t \cdot \sin \varphi] \\ &= \frac{1}{2} \cdot R_T + f_1(2\omega t) \end{aligned}$$

Der Realteil der Übertragungsfunktion läßt sich mit einem Tiefpaß eliminieren.

Durch Multiplikation des um  $90^\circ$  gedrehten Eingangssignals mit dem Ausgangssignal erhält man

$$\begin{aligned} u_X &= \frac{1}{2} \cdot |H_T| \cdot \sin \varphi + \frac{1}{2} \cdot |H_T| \cdot [\cos 2\omega t \cdot \sin \varphi + \sin 2\omega t \cdot \cos \varphi] \\ &= \frac{1}{2} \cdot X_T + f_2(2\omega t) \end{aligned}$$

Der Imaginärteil läßt sich mit einem Tiefpaß eliminieren.

Eine  $90^\circ$  - Phasendrehung ohne Amplitudengang wird durch die Hilbert-Transformation beschrieben. Da das Transversalfilter die gleichzeitige Darstellung von mehreren Übertragungsfunktionen durch parallele Anzapfungen hinter den Laufzeitgliedern erlaubt, läßt sich die Hilbert-Transformierte durch das gleiche Transversalfilter bilden, wenn nur der 0.te Koeffizient der gewünschten Übertragungsfunktion an dem selben Laufzeitglied liegt wie der 0.te Koeffizient der Hilbert-Transformation.

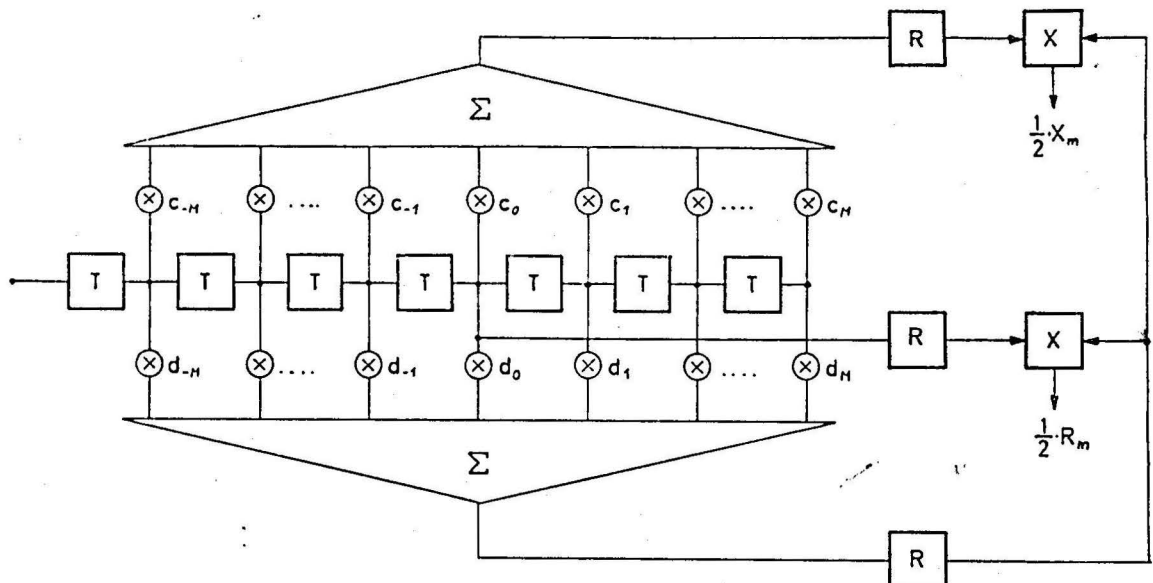


Abb 9 Erzeugung des Imaginäranteils mittels Hilbert-Transformation.

Die Nachbildung von Fernsprechanalenen ( $300 \text{ Hz} \leq f \leq 3400 \text{ Hz}$ ) erfordert nur eine Approximation in einem Teilbereich des Übertragungsbereiches des Transversalfilters. Die Hilbert-Transformation läßt sich dann mit großer Genauigkeit bilden /14/.

Da zur Bildung des Real- und Imaginärteils der Übertragungsfunktion des Transversalfilters Tiefpässe erforderlich sind, kann die  $90^\circ$  - Drehung des Eingangssignals auch durch Differentiation oder Integration mit anschließender Umformung des Signals in ein Rechtecksignal konstanter Amplitude gebildet werden (s. auch Abb. 10):

$$u_{eR} = \sum_{(m)} \frac{\cos m\omega t}{m} \quad m = 2 \cdot n - 1; \quad n = 1, 2, 3, \dots$$

$$u_{eR} \cdot u_a = \sum_{(m)} \frac{\cos m\omega t}{m} \cdot |H_T| \cdot (\sin \omega t \cdot \cos \varphi + \cos \omega t \cdot \sin \varphi)$$

Nach kurzer Zwischenrechnung folgt:

$$u_{eR} \cdot u_a = \frac{1}{2} \cdot X_T + f(m \cdot 2\omega t)$$

#### 5.4.2 Die Realisierung des Analogverfahrens

Die Frequenz der Eingangsspannung des Transversalfilters verläuft proportional der zeitlinearen periodischen Steuerspannung  $U_1$ . Die Steuerspannung der Diodenfunktionsgeber muß um  $(M+1) \cdot T$  gegenüber dieser Spannung verschoben werden, wenn Koeffizienten  $d_k$  im Bereich  $-M \leq k \leq +N$  eingestellt werden sollen. Die zeitliche Verschiebung kann über  $(M+1)$  Abtast-Halteglieder mit anschließender Glättung erfolgen.

Die Fehlerfunktion wird aus den Differenzen  $\Delta R$  und  $\Delta X$  gebildet. Da die ihnen entsprechenden Spannungen bei fortschreitendem Abgleich sehr klein werden, würde die nach dem Quadrieren und Summieren entstehende Gesamtspannung so klein werden, daß sie nicht mehr als Fehlerkriterium ausgenutzt werden könnte. Um einen genauen Abgleich zu erreichen, muß die Quadratwertbildung daher durch eine Absolutwertbildung ersetzt werden (s. auch Abschnitt 6, Beispiel 2 = Tiefpaßcharakteristik).

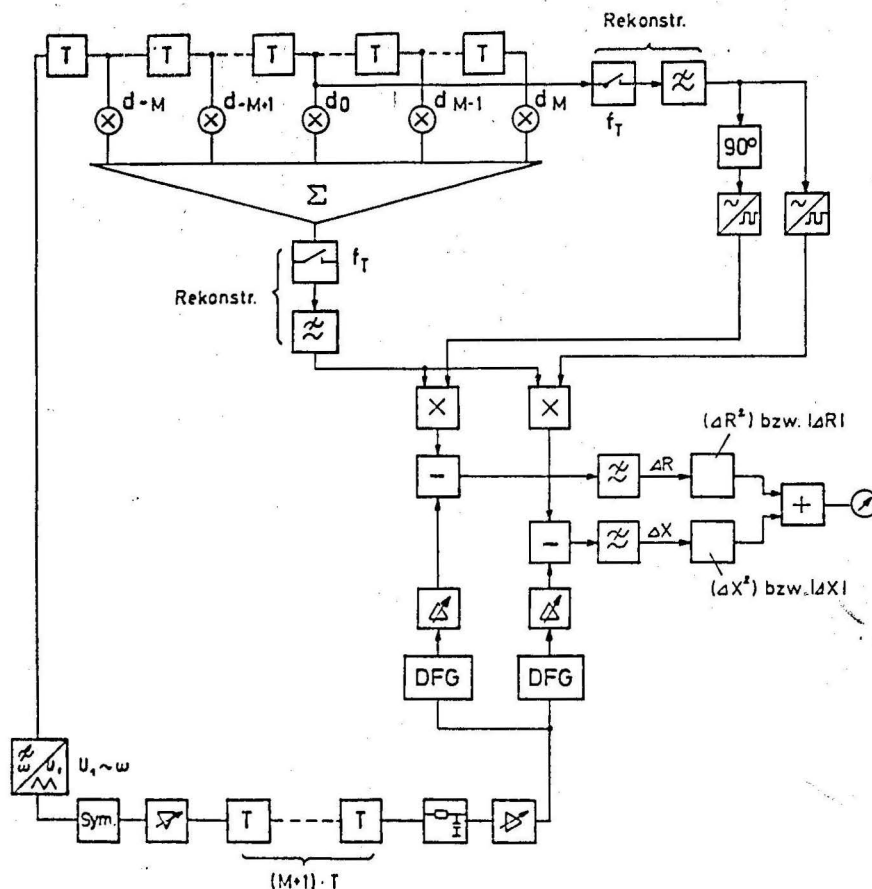


Abb. 10 Blockschaftbild des verwendeten Analogverfahrens.

Die Abtastfrequenz der Abtast-Halteglieder des Filters wurde zu 10 kHz gewählt. Zur Rekonstruktion der abgetasteten Signale (am 0.ten Koeffizienten und am Ausgang) wurden Tiefpässe mit einer Grenzfrequenz von 3.5 kHz verwendet; ihre Welligkeit im Durchlaßbereich war  $< 0.3$  dB. Die Wobelfrequenz von 27 Hz ermöglichte eine sofortige Anzeige der mit dem Einstellen eines Einstellkoeffizienten verknüpften Änderung der Fehlerfunktion. Die Tiefpässe zur Bildung des Real- und Imaginärteils müssen eine Grenzfrequenz haben, die oberhalb der Wobelfrequenz liegt. Die Tiefpässe hatten eine Grenzfrequenz von 200 Hz, so daß der Approximationsbereich, in dem der Mittelwert der Fehlerfunktion gebildet werden konnte, auf  $200 \text{ Hz} \leq f \leq 3500 \text{ Hz}$  beschränkt war.



Die gewünschte Übertragungsfunktion  $H_V(jx) = R_V(x) + jX_V(x)$  liegt aus meßtechnischen Gründen meist als Betrags- und Phasenverlauf vor. Da der zugehörige Real- und Imaginärteil durch eine Rechenschaltung mit sin- und cos-Funktionsgebern erzeugt werden kann, ist es möglich, den Betrag und die Phase in Diodenfunktionsgebern einzustellen.

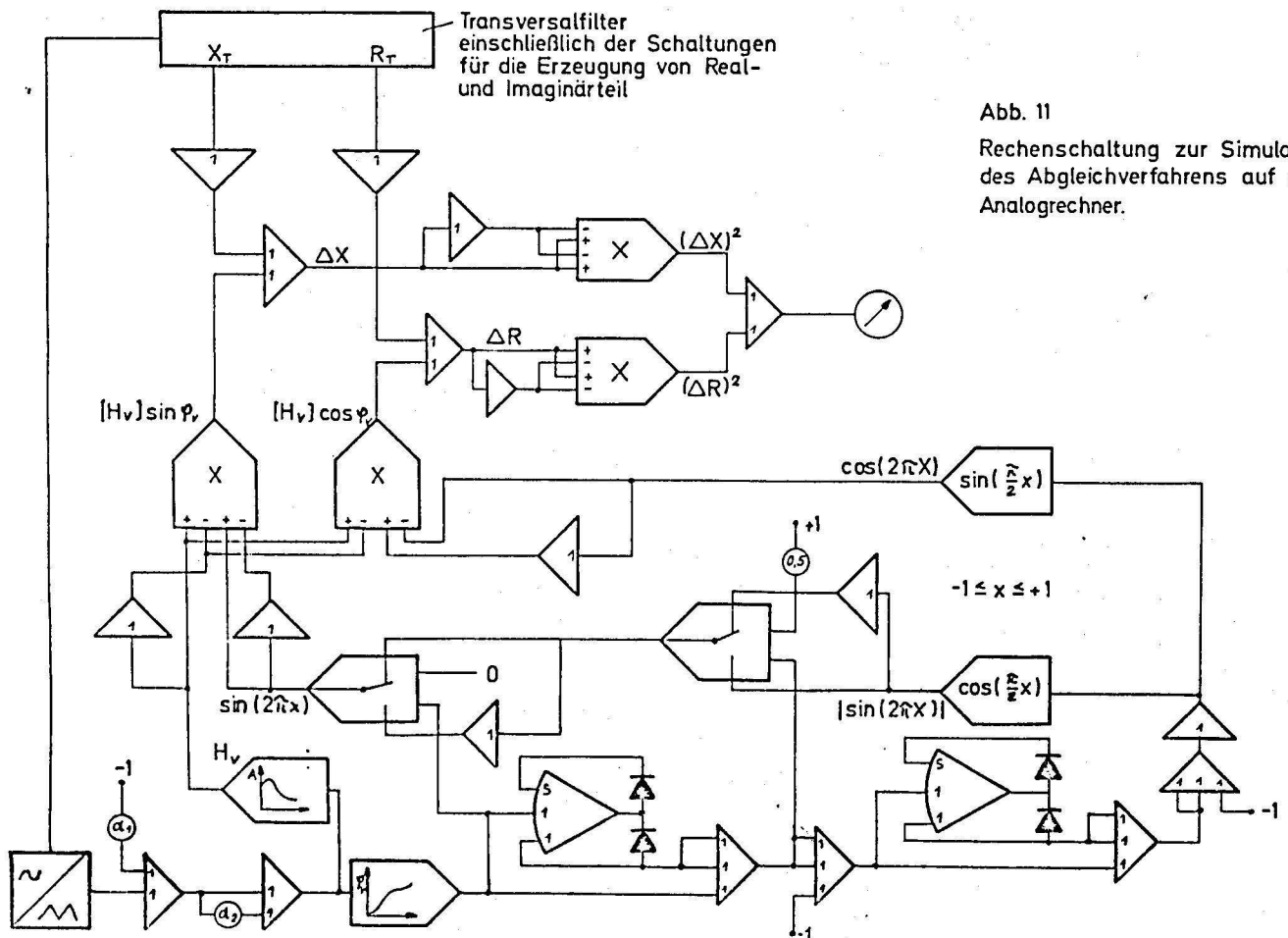


Abb. 11

Rechenschaltung zur Simulation des Abgleichverfahrens auf dem Analogrechner.

### Abgleich nach Betrag und Phase:

Andererseits ist es aber auch möglich, den Abgleich mittels Vergleichs des Betrages und der Phase von vorgegebener Funktion ( $H_T, \varphi_T$ ) vorzunehmen. Aus der Fehlerfunktion nach Gl. (5.1) folgt nach kurzer Rechnung:

$$E = \frac{1}{\pi} \int_0^{\pi} |H_T|^2 + |H_V|^2 - 2 |H_T| \cdot |H_V| \cdot \cos(\varphi_V - \varphi_T) dx$$

Die notwendige Bestimmung des Phasenwinkels  $\varphi_T$  läßt bei diesem Verfahren nur kleine Wobbelgeschwindigkeiten zu, da der Mittelwert des pulsweitenmodulierten Phasensignals großen Wobbelgeschwindigkeiten bzw. schnellen Phasenänderungen nicht zu folgen vermag. Damit kann der Mittelwert der Fehlerfunktion nicht mehr durch ein Anzeigeinstrument gebildet werden. Wird es durch einen Integrierer ersetzt, ist keine kontinuierliche Einstellung der Koeffizienten mehr möglich, da der Integrier-Kondensator zwischen den Anzeigen Zeit zum Entladen benötigt. Damit ist die schaltungstechnische Realisierung der Fehlerfunktion in Abhängigkeit von Betrag und Phase trotz kleinerem Aufwand nur bedingt brauchbar.

#### Fehlerabgleich bezüglich der durch das Eingangssignal des Transversalfilters festgelegten Übertragungsfunktion

Der bezüglich der Spannung am 0.ten Koeffizienten  $d_0$  nichtkausalen Übertragungsfunktion kann eindeutig eine Übertragungsfunktion zugeordnet werden, die als Quotient der Ausgangs- zu Eingangsspannung definiert ist und damit kausal sein muß. Bei kausalen Funktionen ist der Imaginärteil durch den Realteil nach Gl. (2.11) festgelegt. Damit könnte ein Abgleich allein mit dem Kriterium der Differenz der Realteile vorgenommen werden, wenn die in den Funktionsgebern eingestellte Übertragungsfunktion mit analogen Rechenelementen auf den Eingang umgerechnet wird:

$$H_V(jx) = R_V(x) + jX_V(x)$$

$$H_{V(ein)}(jx) = H_V(jx) \cdot e^{jMx}$$

$$= R_V(x)\cos Mx - X_V(x)\sin Mx + j(R_V(x)\sin Mx + X_V(x)\cos Mx)$$

Um den Realteil dieser Übertragungsfunktion  $H_{V(ein)}(jx)$  zu erzeugen, müssen also weiterhin sowohl der Real- als auch der Imaginärteil in Funktionsgebern vorgegeben werden.

Da zudem eine Multiplikation mit  $\cos Mx$  bzw.  $\sin Mx$  erforderlich ist, wird der schaltungstechnische Aufwand nicht kleiner.

### 5.5 Simulation des Transversalfilters auf dem Analogrechner

Zu Beginn der Untersuchung des Analog-Abgleichverfahrens wurde auch das Transversalfilter auf dem Analogrechner simuliert, um eine Übersicht über die Brauchbarkeit und Genauigkeit des Verfahrens zu gewinnen.

Die Übertragungsfunktion eines Transversalfilters mit Koeffizienten  $d_k$  im Bereich  $-M \leq d_k \leq +N$  wird durch

$$H_T(jx) = \sum_{k=-M}^{+N} d_k \cdot e^{-jkx}$$

beschrieben. Die direkte Bestimmung der Einstellkoeffizienten  $d_k$  erfordert damit die Simulation der Übertragungsfunktion  $\exp(-jkx)$ ; sie läßt sich in eine McLaurin-Reihe entwickeln und in einer kanonischen Form darstellen. Bei einer genauen Approximation wird der Aufwand zur schaltungstechnischen Realisierung erheblich.

Die Simulation wird sehr viel einfacher, wenn auf die Forderung, daß die  $d_k$  - Werte direkt einzustellen sind, verzichtet wird, und wenn stattdessen die  $g_k$  - und  $u_k$  - Werte getrennt eingestellt werden:

$$\begin{aligned} d_k &= g_k - u_k \\ d_{-k} &= g_k + u_k \end{aligned} \quad (-M \leq d_k \leq +M)$$

Die Übertragungsfunktion

$$H_T(jx) = d_0 + 2 \sum_{k=1}^M (g_k \cdot \cos kx + j \cdot u_k \cdot \sin kx)$$

kann auf dem Analogrechner leicht dargestellt werden, wenn sie in Real- und Imaginärteil nachgebildet wird.

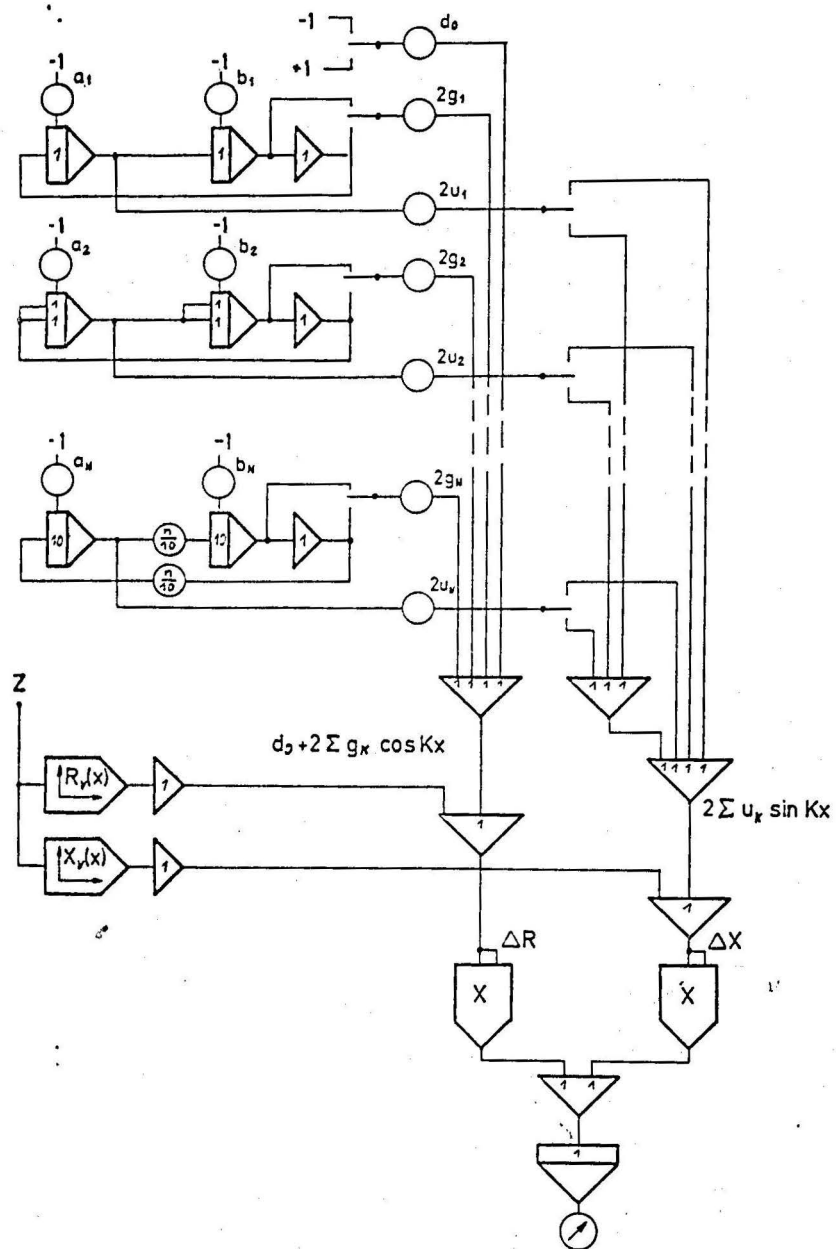


Abb. 12 Simulation des gesamten Abgleichverfahrens auf dem Analogrechner (einschließlich der Simulation des Transversalfilters)

Die Integrationsgrenzen werden durch geeignete Anfangswerte der Integrierer und durch Wahl der Rechenzeit festgelegt.

Damit bildet der Integrierer am Ausgang das Integral

$$E' = \int_{t_u}^{t_o} (\Delta R^2(t) + \Delta X^2(t)) dt$$

$$\sim \int_0^{\pi} B(x) \cdot (\Delta R^2(x) + \Delta X^2(x)) dx$$

$$\begin{aligned} \text{mit } B(x) &= 1 && \text{für } x_u \leq x \leq x_o \\ &= 0 && \text{sonst} \end{aligned}$$

Die Anfangswerte der Integrierer errechnen sich zu  $a_k = \sin(k \cdot x_u)$  und  $b_k = \cos(k \cdot x_u)$ . Bei gleichen Zeitkonstanten  $k_o$  der Integrierer folgt für die Rechenzeit  $t^* = (x_o - x_u)/k_o$ .

## 5.6 Digitale Simulation des Abgleichverfahrens

Um die Konvergenz des Iterationsverfahrens genauer untersuchen zu können, wurde das Abgleichverfahren auf dem Digitalrechner simuliert. Dabei sollte nicht - im Sinne eines Optimierungsverfahrens - mit möglichst wenigen Iterationsschritten das Minimum gefunden werden, sondern der manuelle Abgleich nachgebildet werden. Das digitale Verfahren arbeitet so, daß ein einziger Koeffizient  $d_k$  um eine feste Schrittweite  $2 \text{ s}$  geändert und dann die Fourier-Transformation in den Frequenzbereich durchgeführt wird. Dann wird der neue mittlere quadratische Fehler bestimmt und eine weitere Änderung des Koeffizienten durchgeführt, bis das mit der Schrittweite  $2 \text{ s}$  erreichbare Minimum der Fehlerfunktion längs dieser Variablen  $d_k$  gefunden ist. Anschließend wird der nächste Koeffizient  $d_{k+1}$  auf die gleiche Weise abgeglichen. Dieser Strategie entspricht ein Grobabbgleich beim Analogverfahren.

Zeigt sich nach einem Durchlauf über alle Variablen, daß sich die Fehlerfunktion mit der vorgegebenen Schrittweite nicht mehr ändern läßt, so wird die Schrittweite verringert (Feinabgleich).

Die nach jeder Änderung eines Einstellkoeffizienten erforderliche Berechnung der neuen Übertragungsfunktion kann sehr einfach durchgeführt werden. Soll  $d_k$  um die Schrittweite  $2s$  geändert werden, so muß für die Koeffizienten des Real- und Imaginärteils gelten (s. Gl. 2.8 und 2.9):

$$\varepsilon_{k(\text{neu})} = \varepsilon_{k(\text{alt})} + s$$

$$u_{k(\text{neu})} = u_{k(\text{alt})} - s$$

Damit ist

$$\begin{aligned} d_{k(\text{neu})} &= \varepsilon_{k(\text{neu})} - u_{k(\text{neu})} \\ &= d_{k(\text{alt})} + 2s \end{aligned}$$

$d_{-k}$  wird dabei nicht geändert:

$$\begin{aligned} d_{-k(\text{neu})} &= \varepsilon_{k(\text{neu})} + u_{k(\text{neu})} \\ &= d_{-k(\text{alt})} \end{aligned}$$

Für den neuen Real- und Imaginärteil gelten dann die einfachen Beziehungen:

$$R_{T(\text{neu})} = R_{T(\text{alt})} + 2 \cdot s \cdot \cos kx$$

$$X_{T(\text{neu})} = X_{T(\text{alt})} - 2 \cdot s \cdot \sin kx$$

Die Einstellung eines  $d_{-k}$  - Koeffizienten ergibt sich ganz analog, wenn  $u_{k(\text{neu})} = u_{k(\text{alt})} + s$  gesetzt wird.

Das Abgleichverfahren und seine Simulation zeigen sehr ähnliche Ergebnisse: die Konvergenz des Iterationsverfahrens ist bei den ersten Durchläufen (über alle Variablen) recht gut, wird dann aber oft sehr schlecht; sie kann manchmal verbessert werden, wenn der Abgleich mit einem anderen Koeffizienten begonnen wird.\*

---

\* Ausgangspunkt des Abgleichs sind die auf Null gesetzten Einstellkoeffizienten ( $d_k = 0$  für alle  $k$ ).



## 6. Meßergebnisse

Die Brauchbarkeit und die Genauigkeit des Analog-Abgleichverfahrens soll für drei vorgegebene Übertragungsfunktionen gezeigt werden:

- 1) Differentiation
- 2) Tiefpaßcharakteristik
- 3) Fernsprechkanal

Es zeigt sich, daß folgende Eigenschaften für das Verfahren kennzeichnend sind:

- a) Durch den Abgleich werden die Einstellkoeffizienten des Transversalfilters so eingestellt, daß die Übertragungsfunktion des Filters die vorgegebene Funktion möglichst gut approximiert. Damit werden Fehler, die bei der Rekonstruktion des Ausgangssignals aus den Abtastwerten entstehen, automatisch berücksichtigt und korrigiert (s. dazu Abschnitt 3.3).
- b) Sind eine größere Zahl von Koeffizienten abzugleichen, so nehmen die Abweichungen der erzielten Lösung von der optimalen Lösung zu. Denn bei höherem Approximationsgrad wird die Konvergenz des Verfahrens i. a. schlechter, so daß der Abgleich frühzeitig abgebrochen werden muß.
- c) Mehrfache Durchführung des Abgleichs bei gleichbleibender vorgegebener Übertragungsfunktion  $H_v(jx)$  ergibt verschiedene Ergebnisse. Denn einerseits wird man bei unzureichender Konvergenz den manuellen Abgleich irgendwann abbrechen, andererseits hat auch die Rechenschaltung, die den mittleren quadratischen Fehler erzeugt, einen Eigenfehler  $E^*$ , durch den die Iteration begrenzt ist. Ist  $E^*$  erreicht, so können die Einstellkoeffizienten (Wendelpotentiometer) in kleinen Bereichen geändert werden, ohne daß sich die Anzeige des mittleren quadratischen Fehlers ändert.

Es sind daher unendlich viele Lösungen möglich; die Lösungsvektoren liegen auf dem Rande oder im Innern des N-dimensionalen Ellipsoides  $E^* = \text{const.}$  ( $N = \text{Zahl der einzustellenden Koeffizienten}$ ).

Die unter b) und c) skizzierten Eigenschaften werden vor allem bei dem ersten Beispiel, der Differentiation, sichtbar.

### Beispiel 1: Differentiation

Die Übertragungsfunktion  $H_V(j\omega) = j\omega$  wurde gewählt, um die Genauigkeit des Analogverfahrens überprüfen zu können; bei einer Approximation in einem eingeschränkten Periodizitätsintervall kann die optimale Lösung leicht aus dem Gleichungssystem (3.16) berechnet werden. Außerdem wurde auch das Transversalfilter auf dem Analogrechner simuliert (vgl. Abschnitt 5.5). Da die zu approximierende Funktion rein imaginär ist, sind alle  $g_k$  - Werte Null. Das Approximationsintervall war auf den Bereich von 0 Hz bis  $1/4T$  Hz ( $T = \text{Abtastfrequenz}$ ) festgelegt:

$$B(x) = 1 \quad 0 \leq x \leq 0,5 \cdot \pi$$

mit  $x = \omega \cdot T$

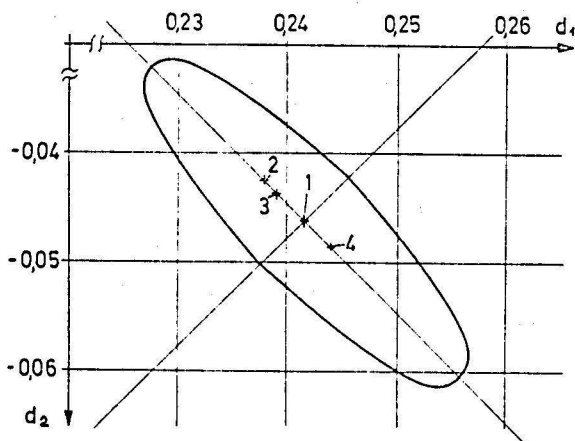


Abb.13 Vergleich der Koeffizienten der Lösung 2÷4 mit den optimalen Koeffizienten.

### Approximationsgrad: 2

Werden Koeffizienten von  $d_{-2}$  bis  $d_{+2}$  optimiert (mit  $d_0 = 0$ ), so ergeben sich Lösungen, die der optimalen Lösung sehr nahekommen. Die Ellipsen  $E = \text{const.}$  ( $E = \text{Fehlerfunktion}$ ) sind gegen das Koordinatensystem gedreht (s. Abb. 13).

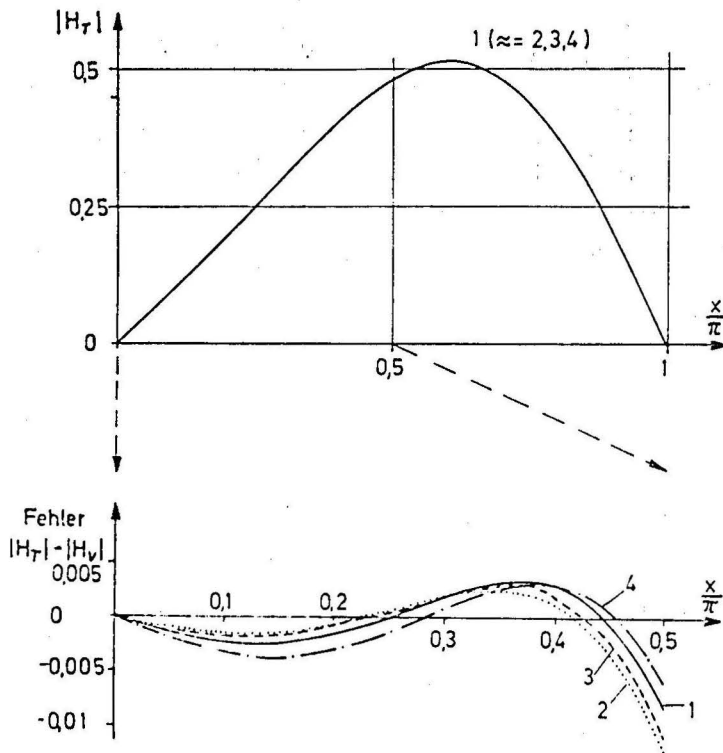


Abb. 14 Vorgegeben:  $H_V = j\omega$ ;  $G=0$  für  $x > 0,5 \cdot \pi$   
Approximationsgrad: 2.

1 = optimale Lösung  
2-4 = Lösung nach Abgleichverfahren.

Die Suchbewegung erfolgt auf Geraden parallel zu den Koordinatenachsen; das mit einem Einstellungskoeffizienten  $d_k$  erreichbare partielle Minimum  $E'$  ist gefunden, wenn die Gerade  $d_k = \text{const.}$  die Ellipse  $E' = \text{const.}$  berührt. Ausgangspunkt der Suchbewegung ist der Koordinatenursprung. Die Punkte 2 bis 4 in der Abb. 13 geben verschiedene mit dem Abgleichverfahren gefundene Lösungen an. Nach Transformation in den Frequenzbereich ergeben sich die Übertragungsfunktionen  $H_T$ , aus denen dann der Verlauf des Fehlers  $|H_T| - |H_V|$  berechnet werden kann (s. Abb. 14)

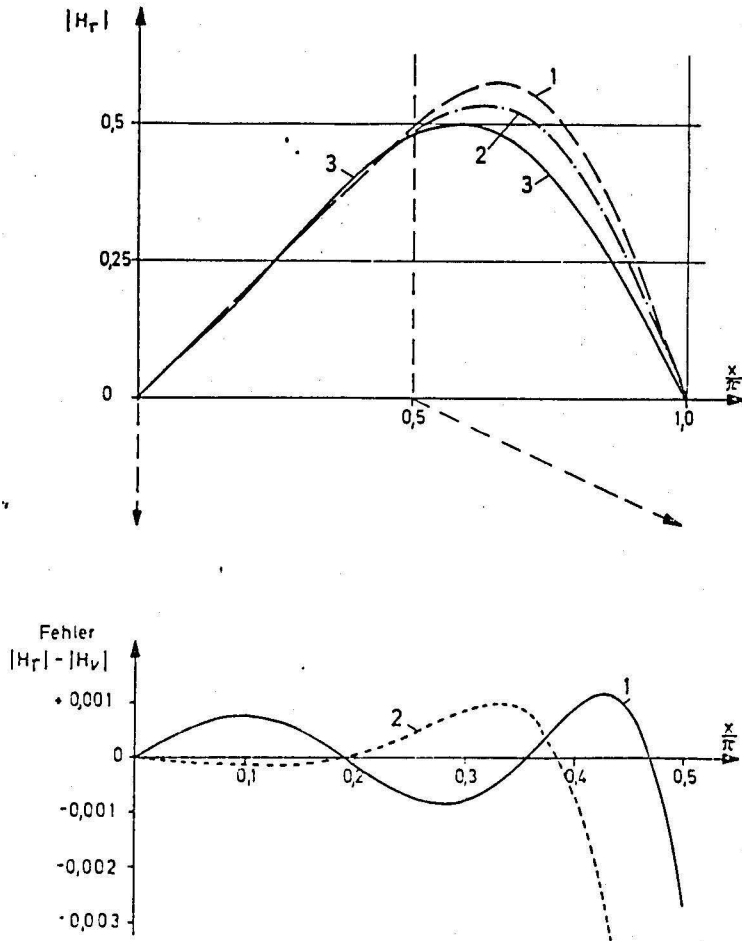


Abb.15 Vorgegeben:  $H_v = j\omega$ ;  $G=0$  für  $x > 0,5 \cdot \pi$   
Approximationsgrad = 3

1 = optimale Lösung  
2 und 3: Lösung nach Abgleichverfahren

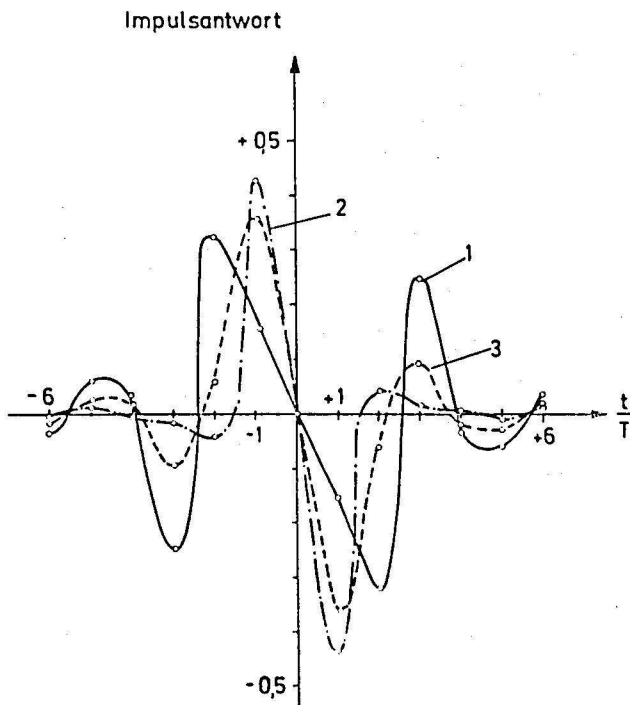


Abb.16 Vergleich von drei aus dem Analog-Abgleichverfahren  
ermittelten Impulsantworten.  
Vorgegebene Übertragungsfunktion:  $H_v = j\omega$   
Approximationsgrad: 6

### Approximationsgrad: 3

Bei einer Optimierung mit Einstellungskoeffizienten von  $d_{-3}$  bis  $d_{+3}$  wird die Approximation verbessert, dafür werden die Unterschiede der durch das Abgleichverfahren erreichten Lösungen zur optimalen Lösung größer. Der Verlauf 3 ergab sich bei einem vorzeitig abgebrochenen Abgleich.

### Approximationsgrad: 6

Wie bereits in der Einleitung dieses Abschnittes festgestellt wurde, kann sich eine schlechte Konvergenz ergeben, wenn die Zahl der Koeffizienten groß wird. Über die Konvergenz entscheidet oft der erste Koeffizient, dessen partielles Minimum gesucht wird.

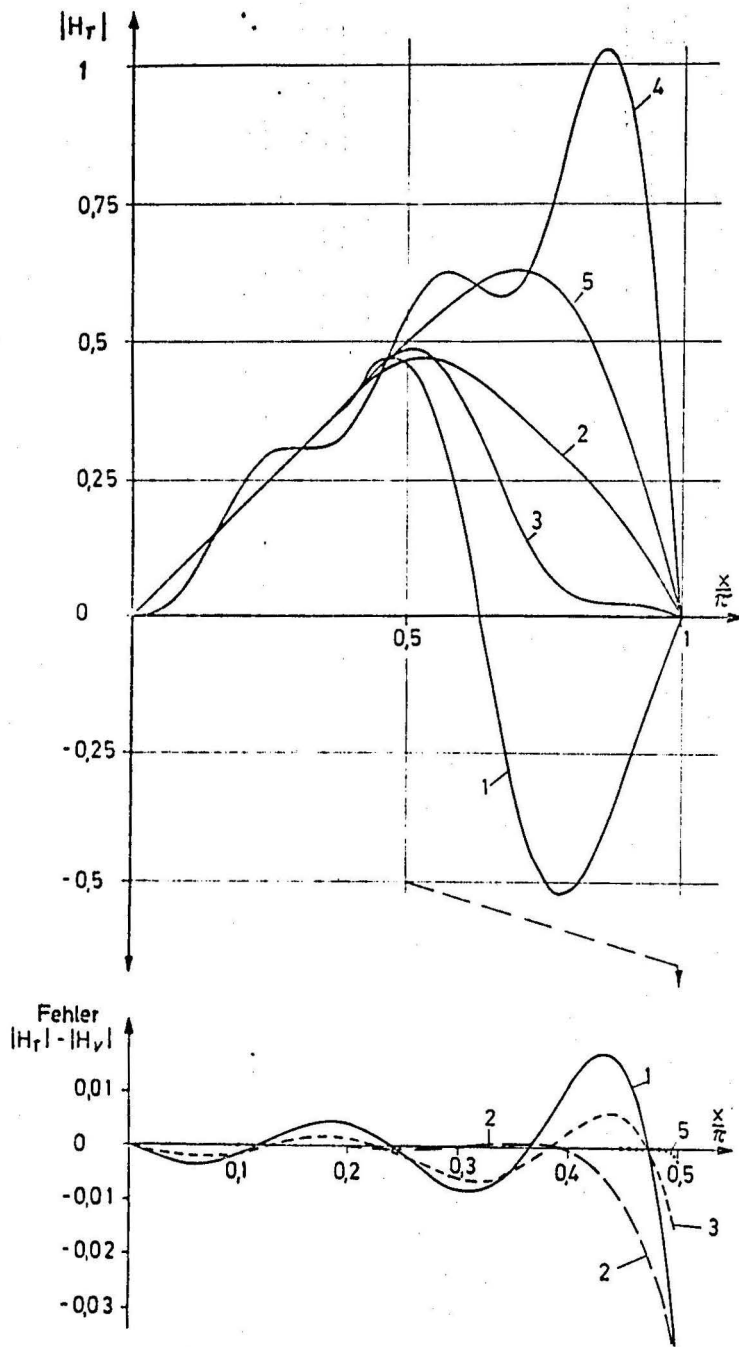


Abb.17  $H_v$  = vorgegebene Übertragungsfunktion.  $H_v = j\omega$   
 $H_r$  = aus Abgleichverfahren ermittelte Über-  
 tragungsfunktion (Approximationsgrad: 6)  
 1 ÷ 3:  $B=0$  für  $x > 0,5\pi$   
 Vergleich: 4:  $B=1$  für alle  $x$  (Fourier-L)  
 5:  $B=0$  für  $x > 0,5\pi$  (optim. L)

So kann es sein, daß dieses Minimum zuerst einen positiven Einstellkoeffizienten ergibt (während dieser in der optimalen Lösung negativ ist), und daß dieser Koeffizient dann nach jedem Umlauf über alle Variablen nur sehr langsam kleiner wird. Es ergeben sich dann sehr schlechte Approximationen (Beispiel: Verlauf 1 in Abb. 16 und 17).

## Beispiel 2: Tiefpaßcharakteristik.

In der Abbildung 18 wird die an Diodenfunktionsgebern eingestellte Übertragungsfunktion (Realteil  $R_V$ , Imaginärteil  $X_V$ ) mit der nach Abgleich am Abtast-Transversalfilter gemessenen

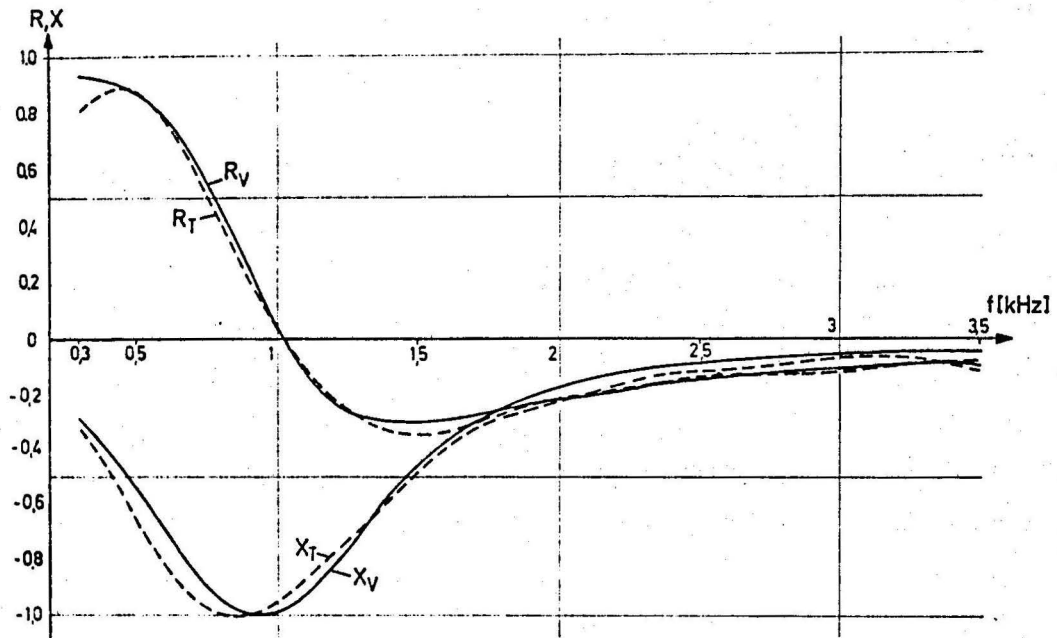


Abb. 18a: Abgleich auf kleinsten Absolutwert

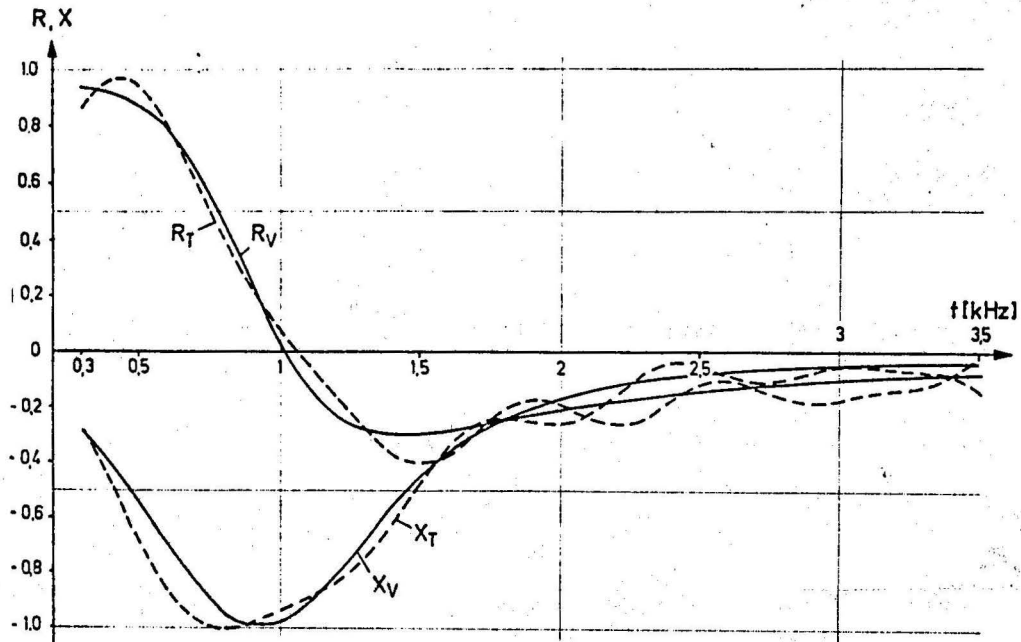


Abb. 18b: Abgleich auf kleinstes Fehlerquadrat.

Abb. 18: Übertragungsfunktion mit Tiefpaßcharakteristik

$R_V, X_V$  Vorgegebener Real- und Imaginärteil in Diodenfunktionsgebern eingestellt.

$R_T, X_T$  Am Transversalfilter nach Abgleich gemessener Real- und Imaginärteil. Approximation mit 20 Koeffizienten.

Übertragungsfunktion (Realteil  $R_T$ , Imaginärteil  $X_T$ ) verglichen. Wird als Fehlerfunktion statt des kleinsten Fehlerquadrats ( $\Delta R^2 + \Delta X^2$ ) der kleinste Absolutwert ( $|\Delta R| + |\Delta X|$ ) verwendet, so wird der Abgleich sehr viel genauer (Abb. 18a bzw. 18b; vgl. auch Abschnitt 5.4.2). Zur Approximation wurden 20 Koeffizienten verwendet.

### Beispiel 3: Fernsprechkanal.

Die Übertragungsfunktion eines Fernsprechkanaals ist i.a. durch den Frequenzgang von Dämpfungs- und Laufzeitverzerrung gegeben (s. z.B. /16/). Da sich die Grundlaufzeit daraus nicht ermitteln läßt, kann sie willkürlich festgelegt werden. Damit werden die Übertragungsfunktionen nichtkausal bezüglich des nullten Koeffizienten; ihn wird man so wählen, daß die entstehende Impulsantwort zu einer möglichst guten Approximation führt. Bei vorgegebener Zahl der Einstellkoeffizienten ist daher der Abgleich mehrfach bei veränderter Lage des nullten Koeffizienten durch -

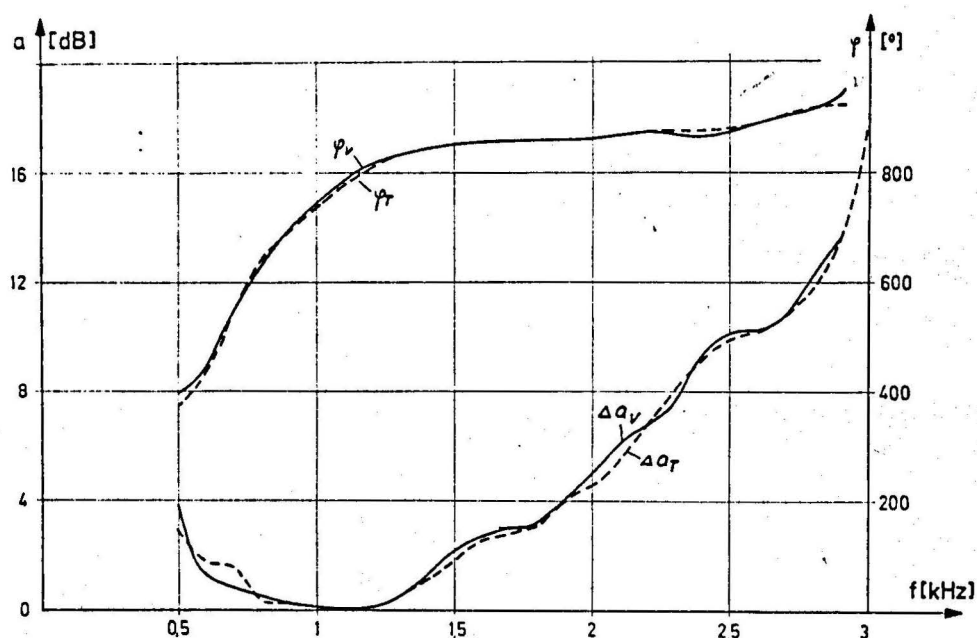


Abb.19: Approximation der Übertragungsfunktion eines Fernsprech-Kanals ( $\Delta a_v, \phi_v$ ) durch ein Transversalfilter mit 48 Einstellkoeffizienten

zuführen; das gleiche gilt für die rechnerische Bestimmung der optimalen Koeffizienten (s. Abschnitt 9 =Anhang).

Die Abb. 19 zeigt ein Beispiel für die Approximation eines Fern-



sprechkanals im Bereich von 0.5 kHz bis 2.9 kHz. Die Abbildungen 22 bzw. 23 zeigen die Impulsantwort bzw. den Frequenzgang am Ausgang des Transversalfilters.

## 7. Beschreibung des Abtastfilters.

Das aufgebaute Transversalfilter besteht aus 48 hintereinandergeschalteten Verzögerungsgliedern, die durch Abtast-Halteglieder realisiert wurden (Abb. 20, s. auch /15/). Die Verzögerungs-

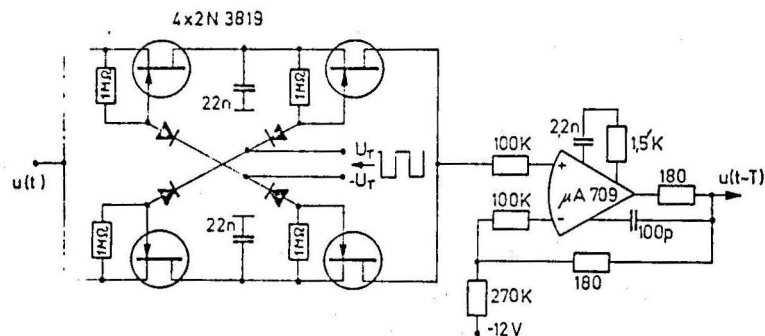


Abb. 20 Schaltung des Abtast-Haltegliedes.

zeit ist einstellbar; bei den hier vorgestellten Meßergebnissen war sie auf  $T = 0.1$  ms eingestellt.

An die Verzögerungsleitung können drei Koeffizientensätze gleichzeitig angeschlossen werden. Die Bewertungskoeffizienten an den einzelnen Abgriffen lassen sich entweder mit Wendepotentiometern oder - für oft einzustellende Übertragungsfunktionen - mit Festwiderständen auf Steckkarten einstellen. Da so auf einfache Weise auch die Hilbert-Transformation durchgeführt werden kann (vgl. Abschnitt 5.4.1), ist es möglich, auch den Real- und Imaginärteil einer eingestellten Übertragungsfunktion darzustellen. Die Rekonstruktion wird durch Nachabtastung des Summen-Treppensignals und anschließender Tiefpaß-Filterung ( $f_g = 3.5$  kHz, C052532) vorgenommen.

Die folgenden Aufnahmen verdeutlichen die Eigenschaften des Filters.

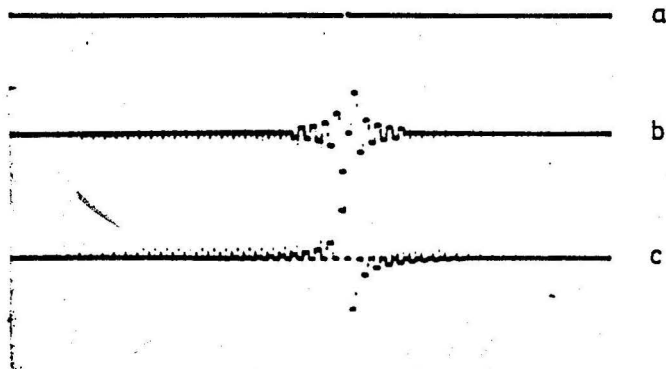


Abb. 21: Impulsantworten des Transversalfilters.

- a: Eingangsimpuls.
- b: Differentiation, 19 Koeffizienten.
- c: Hilbert-Transformation, 39 Koeffizienten.

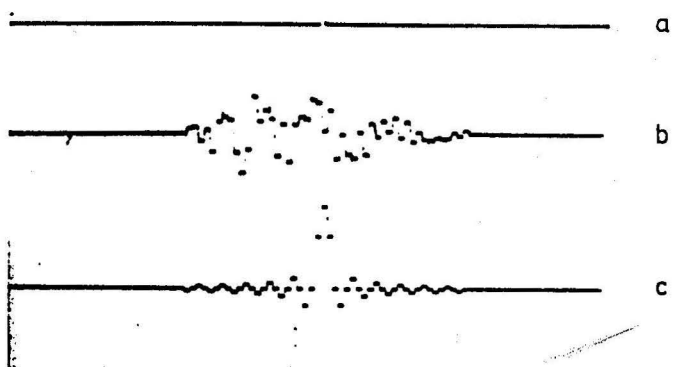


Abb. 22: Impulsantworten des Transversalfilters.

- a: Eingangsimpuls.
- b: Fernsprechkanal, 48 Koeffizienten.
- c: Tiefpaß, 48 Koeffizienten.

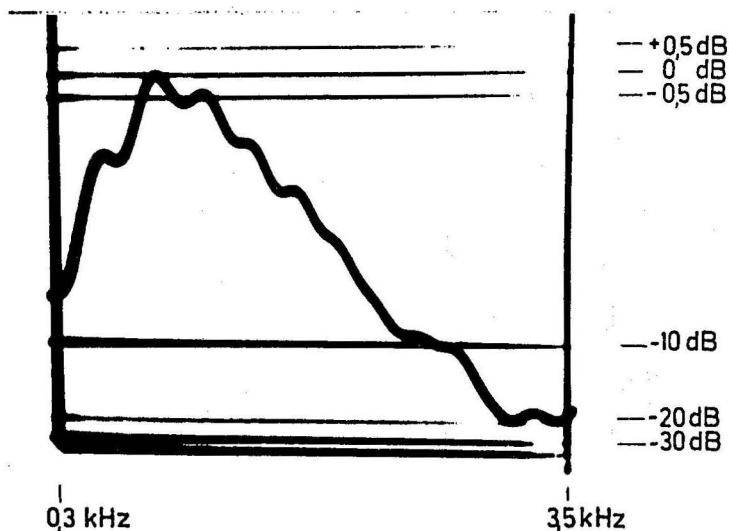


Abb. 23: Frequenzgang eines Fernsprechkanal.

48 Koeffizienten, vgl. Abschnitt 6, Abb. 19.

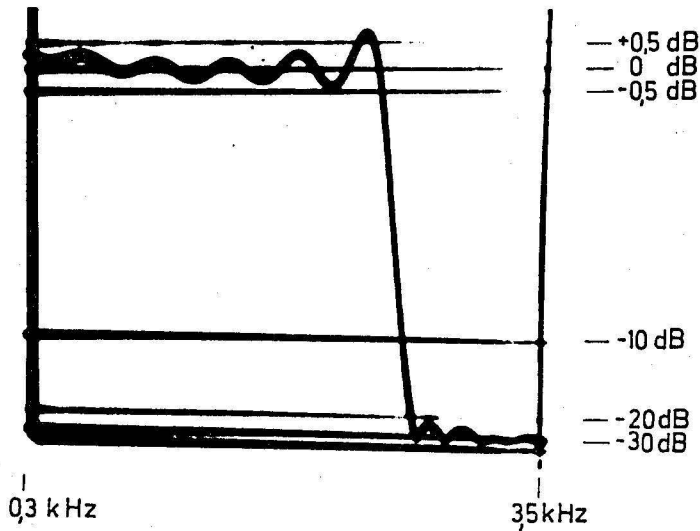


Abb. 24: Frequenzgang eines Tiefpasses, 48 Koeffizienten

Grenzfrequenz: 2.5 kHz.  
 $B(x) = 1$  im gesamten Frequenzbereich.

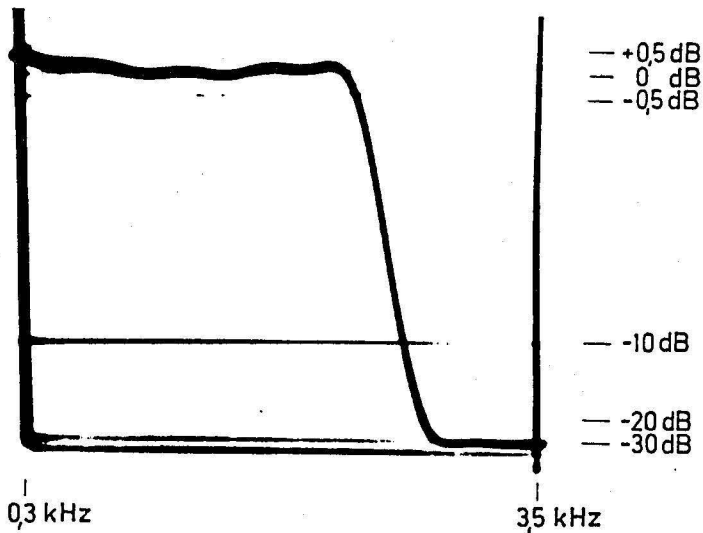


Abb. 25: Frequenzgang eines Tiefpasses, 39 Koeffizienten.

Grenzfrequenz: 2.5 kHz.  
 $B(x) = 0$  zwischen 2.2 kHz und 2.8 kHz.

## 8. Literaturverzeichnis

- /1/ Kaiser, J. F. Digital Filters  
in: F.K. Kuo, J.F. Kaiser  
"System Analysis by Digital  
Computer", S. 218 - 285  
J. Wiley & Sons. Inc., New  
York, 1966
- /2/ Schüßler, W. Zur allgemeinen Theorie der  
Verzweigungsnetzwerke  
Arch. el. Übertragung (AEÜ),  
Bd. 22 (1968), H. 8, S. 361 - 367
- /3/ Schüßler, W. Der Echoentzerrer als Modell  
eines Übertragungskanal  
Nachrichtentechn. Zeitung (NTZ),  
1963, H. 3, S. 155 - 163
- /4/ Pellandini, F. Synthèse des filtres digitaux  
Bonzanigo, F. sans contreréaction  
AGEN-Mitteilungen, Nr. 9,  
Juli 1969
- /5/ Hafner, E. R. Transversal filters with con-  
Leuthold, P. E. tinuously tapped delay lines  
(CTT-Filters)  
Proc. IEEE Vol. 57 (1969),  
No. 12, S. 2114 - 2122
- /6/ Kuntz, W. Entwurf und Anwendung eines  
Abtast-Analogrechners  
NTZ 1968, H. 2, S. 82 - 87
- /7/ Kuntz, W. Untersuchungen über Eigenschaf-  
Schüßler, W. ten, Entwurf und Realisierung  
Winkelkemper, W. digitaler Filter  
Ausgewählte Arbeiten über Nach-  
richtensysteme (Herausgeber: W.  
Schüßler), Nr. 10, Erlangen 1969
- /8/ Gold, B. Digital Processing of Signals  
Rader, C. M. McGraw-Hill Book Company, 1969
- /9/ Leuthold, P. Filternetzwerke mit digitalen  
Schieberegistern  
Philips Research Reports, Suppl.  
No. 5, 1967

- /10/ Unbehauen, R. Die Approximationsaufgabe in der Netzwerk-synthese und ihre Lösung NTZ 1968, H. 10, S. 593 - 664
- /11/ Fleischer, P. E. Digital realization of complex transfer functions Simulation, Vol. 6, No. 3 (1966), S. 171 - 180
- /12/ Lennertz, D. Approximative Darstellung von Funktionen und der zugehörigen zeitinvertierten Funktionen NTZ 1967, H. 7, S. 377 - 381
- /13/ Ketchledge, R. W.  
Finch, T. R. The L 3 coaxial system-equalization and regulation Bell System Techn. Journ. 32 (1953), S. 856 - 862
- /14/ Herrmann, O. Transversalfilter zur Hilbert-Transformation AEU 23 (1969), H. 12, S. 581 - 587
- /15/ Wendland, B. Abtastsysteme zur Entzerrung von Datenkanälen TU Berlin 1969, Dissertation
- /16/ Biehler, H. Messungen an Leitungen im Fern-meldenetz der DBP hinsichtlich der Verwendung zur Datenübertragung. NTF - Fachbericht Band 37 (1969), S. 145 - 162

## 9. Anhang.

Wegen des Interesses, das die Möglichkeit der Simulation von Fernsprechanalysen mit Transversalfiltern gefunden hat, soll hier ein einfaches Verfahren zur Bestimmung der optimalen Einstellkoeffizienten angegeben werden.

Nach Abschnitt 3.2 muß die Funktion

$$E = I_E - 2 \mathcal{D}^T \mathcal{F} + \mathcal{D}^T \mathcal{B} \mathcal{D}$$

minimiert werden. Mit der Bedingung  $\frac{\partial E}{\partial \mathcal{D}} = 0$  ergibt sich der Vektor der optimalen Koeffizienten,  $\mathcal{D}$ , aus dem Gleichungssystem  $\mathcal{B} \cdot \mathcal{D} = \mathcal{F}$ . Die Matrix ist allein durch den Verlauf der Bewertungsfunktion  $B(x)$  gegeben. Sind also die optimalen Koeffizienten bei gleichbleibender Bewertung für verschiedene vorgegebene Übertragungsfunktionen zu berechnen, so wird man die inverse Matrix bestimmen ( $\mathcal{B}^{-1}$ ). Der Koeffizientenvektor  $\mathcal{D}$  kann dann sehr einfach - auch auf einer Tischrechenmaschine - ausgerechnet werden:  $\mathcal{D} = \mathcal{B}^{-1} \cdot \mathcal{F}$ .

Ein weiterer Grund spricht für die Bildung der Inversen: wenn eine Grundlaufzeit des simulierten Kanals nicht interessiert, dann wird man den Null-Koeffizienten  $d_0$  so legen, daß die Impulsantwort bei vorgegebener Koeffizientenzahl die Übertragungsfunktion möglichst gut approximiert. Dazu müssen verschiedene Lösungsvektoren bestimmt und miteinander verglichen werden. Es wäre ungünstig, für jede neu gewählte Lage des nullten Koeffizienten das Gleichungssystem  $\mathcal{B} \cdot \mathcal{D} = \mathcal{F}$  neu zu lösen, da sich die Matrix  $\mathcal{B}$  (und damit auch  $\mathcal{B}^{-1}$ ) bei einer Verschiebung des nullten Koeffizienten wegen ihrer Bandstruktur nicht ändert. Das folgende Schema zeigt diesen Sachverhalt für vier Koeffizienten. In der Matrix wurde „i.“ als Abkürzung von  $I_B(i)$ ,  $i=0,1,2,\dots$  benutzt.

$$\begin{pmatrix} 0. & 1. & 2. & 3. & 4. & 5. & 6. \\ 1. & 0. & 1. & 2. & 3. & 4. & 5. \\ 2. & 1. & 0. & 1. & 2. & 3. & 4. \\ 3. & 2. & 1. & 0. & 1. & 2. & 3. \\ 4. & 3. & 2. & 1. & 0. & 1. & 2. \\ 5. & 4. & 3. & 2. & 1. & 0. & 1. \\ 6. & 5. & 4. & 3. & 2. & 1. & 0. \end{pmatrix} \cdot \begin{pmatrix} d_{-3} \\ d_{-2} \\ d_{-1} \\ d_0 \\ d_1 \\ d_2 \\ d_3 \end{pmatrix} = \begin{pmatrix} I_F(-3) \\ I_F(-2) \\ I_F(-1) \\ I_F(0) \\ I_F(1) \\ I_F(2) \\ I_F(3) \end{pmatrix}$$

Die Inversion führt bei Matrizen größerer Ordnung leicht auf Schwierigkeiten, da die Matrix fast singulär wird. Verbesserungen ergeben sich, wenn die Bewertungsfunktion  $B(x)$  im nicht interessierenden Bereich nicht zu Null gesetzt wird (sondern z.B.  $10^{-6}$ ). Da die Möglichkeiten zur Inversion von Matrizen oft nicht vorhanden sind, werden im folgenden die Elemente der Matrix für  $N = 8, 16, 24, 32$  angegeben. Bei den Rechnungen wurden doppelgenaue Konstanten benutzt (2 x 32 bit), die Inversion wurde mit der Dreieckzerlegung nach Cholesky durchgeführt.  $B^{-1}$

$$\begin{vmatrix} 1 & 2 & 4 & 7 & 10 & 12 \\ & 3 & 5 & 8 & 11 & \\ & & 6 & 9 & & \\ & & & & & \\ & & & & & \\ & & & & & \end{vmatrix}$$

ist wie  $B$  symmetrisch zu beiden Diagonalen, jedoch geht die Bandstruktur verloren. Wegen

$$a_{i,k} = a_{(N-k+1), (N-i+1)} = a_{k,i}$$

werden nur  $(N+2) \times N/4$  Werte angegeben. Die Nummerierung folgt dem nebenstehenden Schema (Beispiel  $N=6$ ).

Für  $B(x)$  gilt:

$$B = 0.0005$$

$$B = 1$$

$$B = 0.0005$$

$$x < 0.06 \cdot \pi$$

$$0.06 \cdot \pi \leq x \leq 0.68 \cdot \pi$$

$$0.68 \cdot \pi < x \leq \pi$$

Bei einer Abtastfrequenz von 10 kHz ( $T = 0.1$  ms) ist  $B = 1$  im Bereich von 0.3 kHz bis 3.4 kHz.\* Bei der Bestimmung der Komponenten des Vektors  $F$  müssen Integrationen durchgeführt werden. Die bei diesen Integrationen auftretenden Fehler machen sich bei großen Werten der Elemente der Matrix  $B^{-1}$  stärker bemerkbar. Mit  $B = 0.0005$  werden gute Approximationen erreicht, wenn die Stützstellen der Übertragungsfunktion in 100 Hz-Abständen gegeben und im nichtinteressierenden Bereich zu Null gesetzt sind. Bei großen  $N$ -Werten wird eine Erhöhung der Zahl der Stützstellen durch Interpolation empfohlen.

\* Für andere Werte und Bereiche werden entsprechende Ergebnisse gerne zur Verfügung gestellt.



N = 8

6.8506686  
-9.9811297  
20.7527979  
14.2631870  
-28.8705758  
44.8587904  
-15.2948088  
33.4166920  
-51.4625686  
63.6934267  
14.3489817  
-31.8150806  
50.3296284  
-62.0455834  
-10.2421347  
24.5966744  
-39.3231122  
6.1884033  
-14.8990167  
-2.0938168

N = 16

10.7440506  
-18.8246215  
43.7176141  
30.3977578  
-72.0459558  
129.5563367  
-35.8807979  
93.2740199  
-173.6033176  
249.3734713  
36.5857256  
-100.0594333  
197.1134042  
-295.7027928  
373.2989347  
-27.1828735  
84.4585168  
-178.0175980  
287.6308232  
-386.1676159  
435.3651447  
14.8446597  
-53.5495755  
127.9859844  
-227.2111220  
335.1279759  
-413.9699952  
441.6878598  
0.4831949  
14.4313967

-54.0350916  
125.9095767  
-221.8653973  
322.0779471  
-396.1008571  
420.8538879  
-9.7515474  
17.2865566  
-11.9514410  
-21.1674103  
90.2929624  
-189.4886246  
297.3987616  
-382.9530930  
14.9691257  
-35.9649234  
59.5783674  
-61.9572235  
29.9250196  
52.0386957  
-168.2510784  
-12.3463497  
37.0308693  
-72.7332067  
100.3513144  
-100.3295327  
49.4325908  
8.4891761  
-28.0071291  
64.4131857  
-100.2433449  
122.5391575  
-2.6559135  
14.2017154  
-40.0493157  
72.1519133  
0.3321244  
-4.2765414  
19.5820459  
1.3297002  
-1.1176546  
-0.3110296

N = 24

12.4909616  
-21.7464946  
50.3475171  
35.7425025  
-83.9357765  
152.2323791  
-40.6209306  
106.4255761  
-199.7858628  
283.9529077  
40.2563539  
-110.6598480  
221.1343747

-330.2241577  
413.0950291  
-25.8413170  
85.2643930  
-184.8000240  
305.3641664  
-413.7488534  
466.4573385  
10.3109074  
-43.8526407  
115.3949499  
-218.9483669  
339.3685316  
-434.7662663  
473.9662957  
8.4565144  
-4.2745508  
-21.0799197  
89.2985235  
-193.4560439  
321.1594250  
-425.5041291  
474.4983792  
-14.9698000  
34.4156920  
-46.0405688  
26.5483802  
42.3752629  
-161.9505061  
307.0901891  
-431.7418448  
489.5145457  
16.1988294  
-43.1131818  
80.1609061  
-98.1212720  
78.0040710  
8.5588071  
-147.6068568  
315.8445569  
-449.4950949  
509.5793429  
-5.2838026  
25.4903530  
-59.1943116  
98.2915199  
-116.3387281  
88.4532891  
5.7365744  
-154.6878740  
324.8062864  
-457.8401052  
509.4503697  
-2.7056033  
-0.7244567  
19.3181465  
-51.9423322  
91.5120016  
-109.9547223  
83.7071162  
9.6242429  
-155.7373066

323.7341842  
-452.8366641  
503.7373583  
11.2850051  
-22.1603817  
29.5700972  
-15.4132061  
-18.0409705  
67.1647682  
-97.4424584  
84.0707981  
1.5600928  
-144.2023884  
314.0510452  
-447.2671935  
-8.8702477  
26.6818413  
-47.0635041  
57.9445942  
-43.4087821  
0.5497532  
59.0762012  
-101.7031820  
93.3922164  
-9.2000102  
-139.2731291  
5.4341117  
-18.4208966  
43.1664752  
-65.6567174  
76.6135948  
-54.1822898  
3.5386413  
66.1620625  
-110.7723208  
101.8908644  
3.4312480  
-0.2637678  
-11.4692411  
34.8325716  
-58.1415568  
68.0784455  
-46.7610654  
-4.5831078  
69.8878586  
-6.0438857  
13.6986024  
-14.9089105  
5.5753346  
18.6284738  
-44.3103749  
58.8487302  
-41.2005580  
8.0539680  
-19.9216645  
35.2482096  
-39.6260534  
29.6822659  
1.2164560  
-35.2664934  
-3.5384623  
14.3899387

-31.8716178	40.2663900	112.0653692	38.5461643
48.5533027	-58.4401954	-31.4623865	35.5461994
-53.2852695	45.6840057	-120.8939012	-98.0083326
36.0882275	22.5395117	319.1974993	116.7725824
1.1077500	-148.6715030	-474.5606912	-37.6543548
-5.9070821	308.6974845	543.1476355	-116.5526066
22.1329464	-447.4044964	2.6283151	3.9049396
-39.9800224	512.8339246	-10.9427575	0.4523850
57.7757186	16.9203133	32.6636537	-8.5096239
2.7321698	-45.1658816	-55.7057624	28.8949464
-2.9633747	87.6932849	74.5746248	-42.3501358
-5.2133494	-110.3746592	-62.4568587	48.1448768
20.2673947	95.6758802	21.5201869	-23.5121379
-2.1780598	-6.2363338	49.3754946	-12.7172195
5.8323926	-139.5199602	-103.8099749	57.0458273
-2.0070183	322.5803561	113.2401939	-65.1929505
2.2105628	-465.1618333	-31.4157988	38.3969664
-5.4179441	529.6940059	-121.6507536	34.2285735
-0.2127082	-1.1750547	319.5460453	-95.5197978
	18.9513661	-474.4661080	115.8633682
	-48.4112969	542.5476154	-4.5982513
	91.2354810	9.4941910	11.9530217
	-113.6821463	-13.7608927	-11.9742330
	97.5660676	15.3375768	4.9861861
	-6.7688694	3.9658162	16.8836083
	-140.3861339	-28.7841076	-35.5669845
	323.6913322	59.1719952	46.6451138
	-466.0961564	-58.0300115	-26.3462225
	529.7274875	28.6366585	-9.0627810
	-5.2598289	40.2518434	54.7311263
	7.7834617	-95.9759144	-65.2400266
	4.0609835	112.9318432	39.7515315
	-32.0700327	-34.5712727	33.3081435
	75.1931323	-116.0911317	8.6323819
	-104.4063346	317.5968961	-19.8147237
	94.4064875	-474.6881368	34.9877329
	-11.3837502	545.3229262	-36.9170388
	-134.4926973	-6.8003010	26.5335359
	317.7274361	21.2972279	4.8092561
	-465.7097574	-32.4093244	-33.3796136
	531.6662766	35.6585363	51.3683152
	14.6686584	-14.7204637	-32.4615133
	-30.4861307	-18.1447704	-6.1598951
	48.6470774	56.3753304	55.0110130
	-40.6254070	-62.7715375	-67.6136147
	10.4106300	34.7277172	-0.8460931
	50.8120949	35.4997410	10.2716938
	-97.0110124	-95.8691100	-21.6685806
	105.9299917	115.0911157	36.8924541
	-26.1393006	-37.5243190	-37.6529131
	-121.1126380	-115.2432026	26.8106782
	317.0815871	318.2214420	5.4577389
	-470.7348560	-475.8199584	-33.0221014
	541.7848068	7.1806517	50.9439791
	-6.3314901	-19.3530156	-30.7644822
	25.5909337	40.7442319	-6.4503955
	-48.0320882	-53.5399873	-0.9567375
	67.8120027	54.5570261	0.8229288
	-58.6474755	-25.4062782	7.6711059
	20.7274869	-15.7139882	-18.8404612
	47.8169359	60.8854325	34.3420732
	-101.7977160	-68.5836141	-36.2078282

N=32

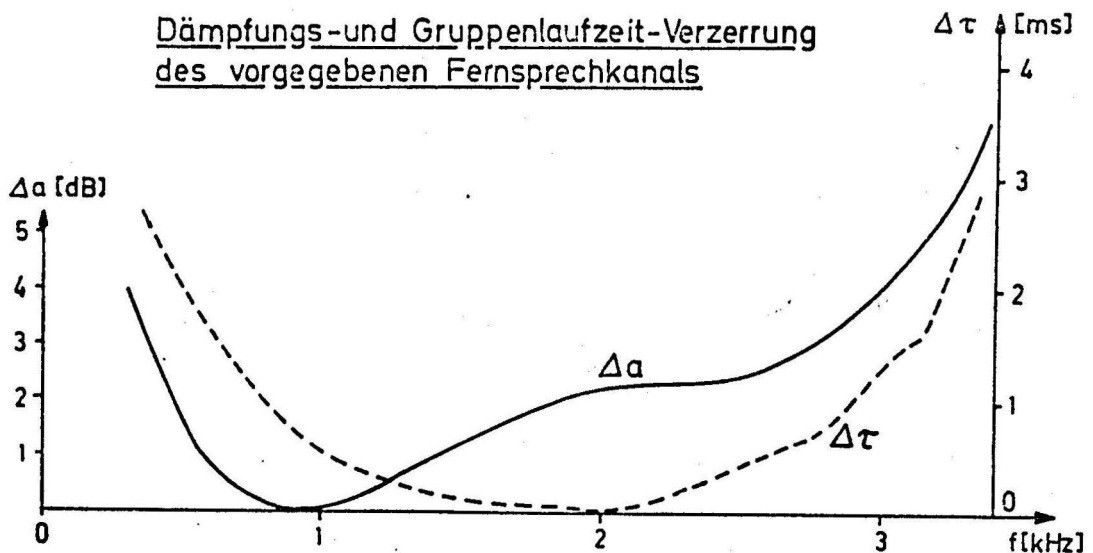
13.9003906	323.6913322	59.1719952	46.6451138
-23.5885647	-466.0961564	-58.0300115	-26.3462225
53.9086989	529.7274875	28.6366585	-9.0627810
39.5877652	-5.2598289	40.2518434	54.7311263
-90.8246997	7.7834617	-95.9759144	-65.2400266
166.4978947	4.0609835	112.9318432	39.7515315
-43.5017304	-32.0700327	-34.5712727	33.3081435
113.4849468	75.1931323	-116.0911317	8.6323819
-214.5083913	-104.4063346	317.5968961	-19.8147237
302.3605065	94.4064875	-474.6881368	34.9877329
43.2008770	-11.3837502	545.3229262	-36.9170388
-117.0060197	-134.4926973	-6.8003010	26.5335359
235.9905359	317.7274361	21.2972279	4.8092561
-348.9998737	-465.7097574	-32.4093244	-33.3796136
434.8222771	531.6662766	35.6585363	51.3683152
-25.0438242	14.6686584	-14.7204637	-32.4615133
85.8270645	-30.4861307	-18.1447704	-6.1598951
-187.9815586	48.6470774	56.3753304	55.0110130
313.9003041	-40.6254070	-62.7715375	-67.6136147
-425.6466125	10.4106300	34.7277172	-0.8460931
479.1612275	50.8120949	35.4997410	10.2716938
8.8547677	-97.0110124	-95.8691100	-21.6685806
-40.1915343	105.9299917	115.0911157	36.8924541
110.7135000	-26.1393006	-37.5243190	-37.6529131
-215.2494606	-121.1126380	-115.2432026	26.8106782
340.2901194	317.0815871	318.2214420	5.4577389
-440.8557920	-470.7348560	-475.8199584	-33.0221014
484.0933864	541.7848068	7.1806517	50.9439791
12.6759386	-6.3314901	-19.3530156	-30.7644822
-12.7713901	25.5909337	40.7442319	-6.4503955
-4.4062513	-48.0320882	-53.5399873	-0.9567375
71.4653183	67.8120027	54.5570261	0.8229288
-176.9283197	-58.6474755	-25.4062782	7.6711059
318.1598905	20.7274869	-15.7139882	-18.8404612
-433.4546545	47.8169359	60.8854325	34.3420732
495.0122170	-101.7977160	-68.5836141	-36.2078282
-16.1737525			

26.4665014  
4.8375154  
-32.2236221  
50.3885895  
7.2066140  
-13.8408447  
19.5591867  
-12.4915784  
-2.5349009  
25.3703967  
-35.4370268  
29.4061871  
0.9842606  
-3.7231133  
14.1504340  
-22.7351155  
28.9256215  
-18.2395870  
0.3377077  
26.6500968  
-35.3603218  
2.9838583  
-9.2770994  
21.3089342  
-30.2822295  
33.6354208  
-20.6097233  
-0.6232440  
3.1381484  
-2.6841030  
-1.2754208  
12.7390754  
-23.7171823  
30.0812136  
-3.2961190  
9.7005767  
-9.4250492  
5.5014790  
11.5115987  
5.0045402  
-13.4602315  
19.3884635  
-18.9831206  
-1.9639702  
10.0205333  
-14.4569047  
1.4687932  
-5.9882208  
0.5378412

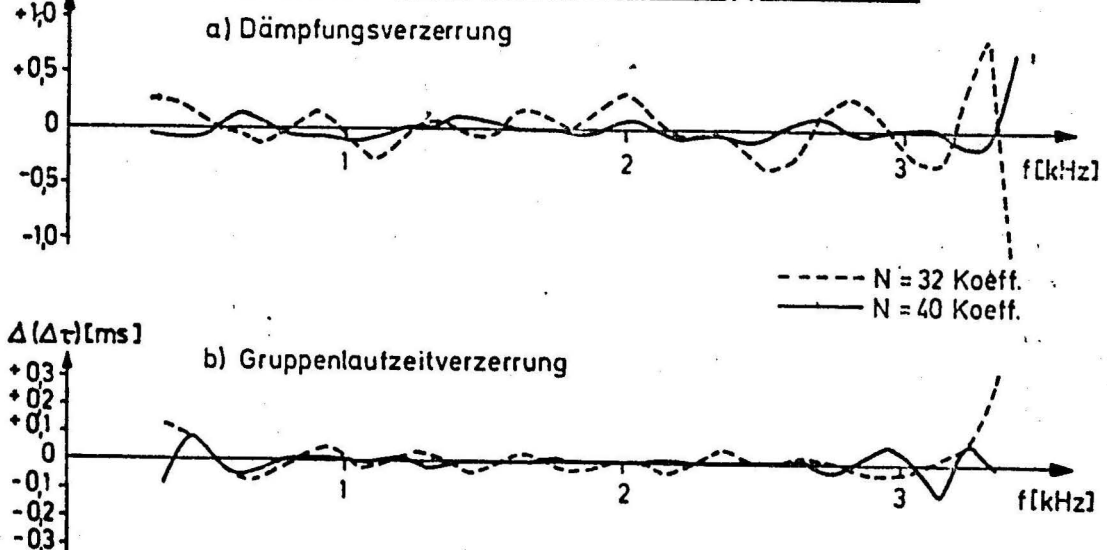
Mit dem auf den vorigen Seiten beschriebenen Verfahren wurden die Einstellkoeffizienten für einen Fernsprechkanal bestimmt, dessen Dämpfungs- und Gruppenlaufzeitverzerrung im Bereich von 0.3 kHz bis 3.4 kHz gegeben war (s. Abb. unten). Es wird der mittlere quadratische Fehler  $E$  der erzielten Lösung angegeben und mit der Fourier-Lösung ( $B=1$  im gesamten Bereich) verglichen.

N	*	E (Gl. 3.7) =optimale Lösung.	E (Gl. 3.1) =Fourier-Lösung.
8	*	0.20233	0.26324
16	*	0.04110	0.08083
24	*	0.01593	0.03221
32	*	0.00068	0.01685
40	*	0.00024	0.00712

Dämpfungs- und Gruppenlaufzeit-Verzerrung  
des vorgegebenen Fernsprechkannels



Fehlerkurven der Transversalfilter-Approximation



Unser Dank gilt

- \* Frau Ch. Hille für die Anfertigung der Zeichnungen,
- \* Herrn Techniker H.-P. Lenz für vielseitige Hilfe,
- \* dem Institut für Informationsverarbeitung an der TU Berlin (Ltg. Prof. Dr.-Ing. W. Giloi), das uns Re - chenzeit am Digitalrechner CAE 90-40 zur Verfügung stellte,
- \* dem Institut für Regelungstechnik an der TU Berlin (komiss. Ltg. Prof. Dr.-Ing. I. Hartmann), das uns den Analogrechner Telefunken RA 800 für die Simula - tionen zur Verfügung stellte,
- \* der Deutschen Forschungsgemeinschaft, die mit der Bereitstellung von Personal- und Sachmitteln diese Untersuchungen ermöglichte.



